

# Grafikpipeline

Visual Computing

Winter Semester 2023-2024



**Prof. Dr. A. Kuijper**

Mathematical and Applied Visual Computing (MAVC)  
Graphisch-Interaktive Systeme (GRIS)  
Fraunhofer IGD  
Fraunhoferstrasse 5  
D - 64283 Darmstadt

E-Mail: [office@gris.tu-darmstadt.de](mailto:office@gris.tu-darmstadt.de)  
<http://www.gris.tu-darmstadt.de>  
<https://www.mavc.tu-darmstadt.de>

# Lena revisited



TECHNISCHE  
UNIVERSITÄT  
DARMSTADT

<https://www.wired.com/story/finding-lena-the-patron-saint-of-jpegs/#>



<https://onezero.medium.com/a-nude-playboy-photo-has-been-a-mainstay-in-testing-tech-for-decades-b8cdb434dce1>

# (Graustufen-) Bild



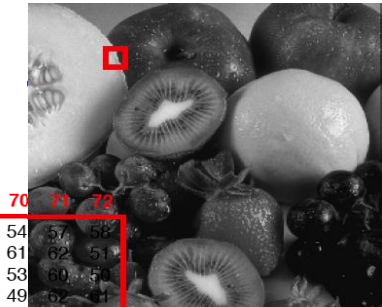
## Ziele der Computer Vision

- Wie kann man Obst in einem Raster von (graustufen) Zahlen erkennen?
- Wie kann man Tiefen-informationen aus einem Raster von (graustufen) Zahlen herleiten?
- ...

computer vision =  
das Problem der  
„umgekehrten Grafik“?

## Ziele der Computergrafik

- Wie kann man ein Raster von (graustufen) Zahlen erzeugen, das wie Obst aussieht?
- Wie kann man ein Raster von (graustufen) Zahlen erzeugen, sodass der menschliche Betrachter Tiefe wahrnimmt?
- ...



x =	58	59	60	61	62	63	64	65	66	67	68	69	70	71	72	
y =	41	210	209	204	202	197	247	143	71	64	80	84	54	54	57	58
	42	206	196	203	197	195	210	207	56	63	58	53	53	61	62	51
	43	201	207	192	201	198	213	156	69	65	57	55	52	53	60	50
	44	216	206	211	193	202	207	208	57	69	60	55	77	49	62	41
	45	221	206	211	194	196	197	220	56	63	60	55	46	97	58	106
	46	209	214	224	199	194	193	204	173	64	60	59	51	62	56	48
	47	204	212	213	208	191	190	191	214	60	62	66	76	51	49	55
	48	214	215	215	207	208	180	172	188	69	72	55	49	56	52	56
	49	209	205	214	205	204	196	187	196	86	62	66	87	57	60	48
	50	208	209	205	203	202	186	174	185	149	71	63	55	55	45	56
	51	207	210	211	199	217	194	183	177	209	90	62	64	52	93	52
	52	208	205	209	209	197	194	183	187	187	239	58	68	61	51	56
	53	204	206	203	209	195	203	188	185	183	221	75	61	58	60	60
	54	200	203	199	236	188	197	183	190	183	196	122	63	58	64	66
	55	205	210	202	203	199	197	196	181	173	186	105	62	57	64	63

# Real <-> Virtuell



TECHNISCHE  
UNIVERSITÄT  
DARMSTADT



# Auah!



TECHNISCHE  
UNIVERSITÄT  
DARMSTADT



# NO TIME TO DIE Trailer

<https://www.youtube.com/watch?v=BlhNsAtPbPI>



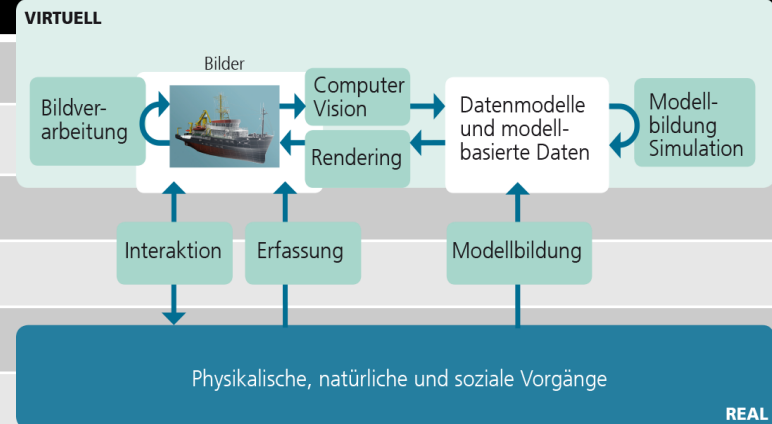
TECHNISCHE  
UNIVERSITÄT  
DARMSTADT



# Semesterplan



Datum	
20. Okt	Einführung + <u>Visual Computing</u>
27. Okt	<u>Wahrnehmung</u>
03. Nov	<u>Objekterkennung</u> und <u>Bayes</u>
10. Nov	<u>Fourier Theorie</u>
17. Nov	<u>Bilder</u>
24. Nov	<u>Bildverarbeitung</u>
01. Dez	<b>Grafikpipeline &amp; Eingabemodalitäten &amp; VR+AR</b>
08. Dez	Transformationen & 2D/3D Ausgabe
15. Dez	3D-Visualisierung
12. Jan	X3D – 3D in HTML
19. Jan	Informationsvisualisierung
26. Jan	Farbe
02. Feb	User Interfaces + Multimedia Retrieval
11. Feb	Biometrie



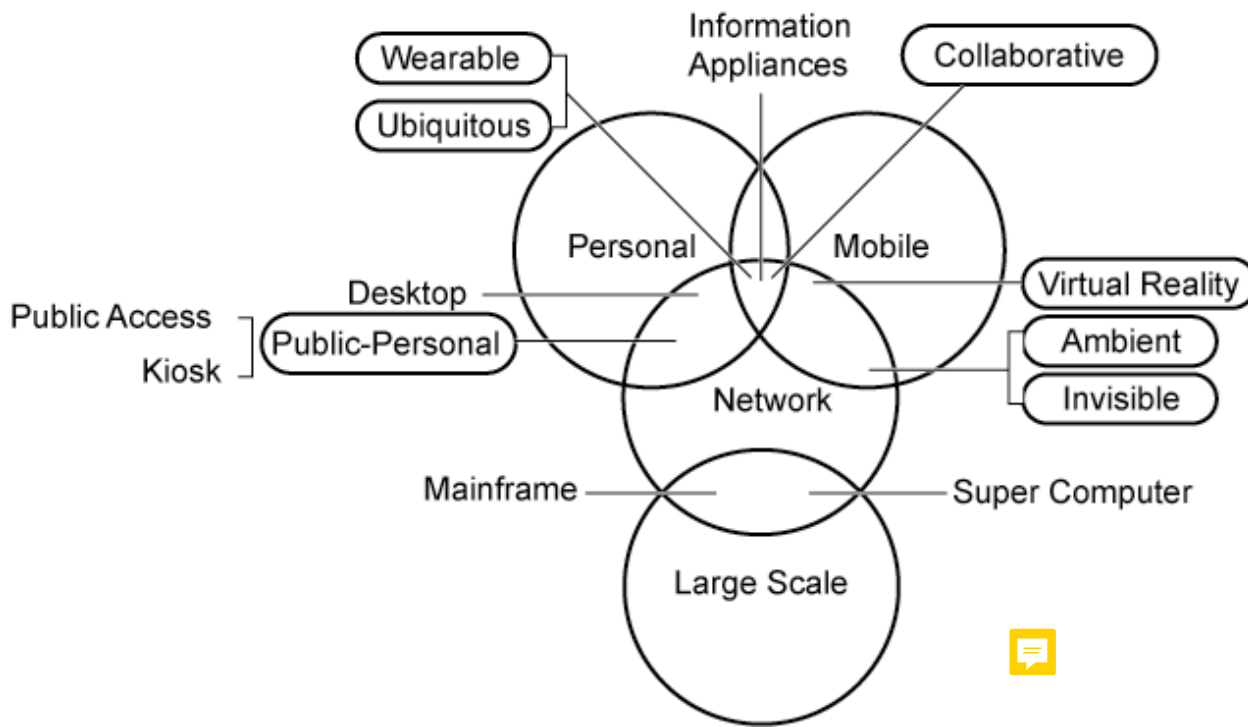
# Überblick



TECHNISCHE  
UNIVERSITÄT  
DARMSTADT

- **Hardware**
- Computergrafik
  - Geschichte
- Grafikpipeline
  - Anwendung
  - Geometrieverarbeitung
  - Rasterisierung
  - Ausgabe

# Computing: Hardware & Paradigmen



## Kreise

- **Grundlegende Paradigmen.**

## Längliche Formen

- Zusammenlaufende Paradigmen.

## Nicht umrandete Ausdrücke

- Konkrete Systemarchitekturen (manchmal als Verweis auf ein Paradigma verwendet, wie z.B. in „Desktop Computing“, das für „Personal Computing“ steht).

# P1: Large-Scale-Computing



Die ursprünglichen Mainframe-Computer waren riesige Rechenmaschinen, die als Hosts angesteuert wurden. Sie befanden sich fest in Rechenzentren.

Der Zugriff fand über externe, mit Tastaturen ausgerüstete, alphanumerische Terminals statt („Dumb Terminals“)

→ Host- und Terminal-Systeme

4381 Processor, IBM (1983)



CLOUD!

zSeries 990, IBM (2003)



# P2: Personal Computing / Desktop Computing



TECHNISCHE  
UNIVERSITÄT  
DARMSTADT



Xerox Alto

- Entwickelt 1973 im Xerox Palo Alto Research Center
- Erster GUI-basierter Computer, der die „Desktop-Metapher“ verwendete
  - Popup-Menüs
  - Fenster
  - Icons
  - ...



Dell XPS One (2008)



# P3: Networked Computing



J.C.R. Licklider – Intergalactic Computer Network

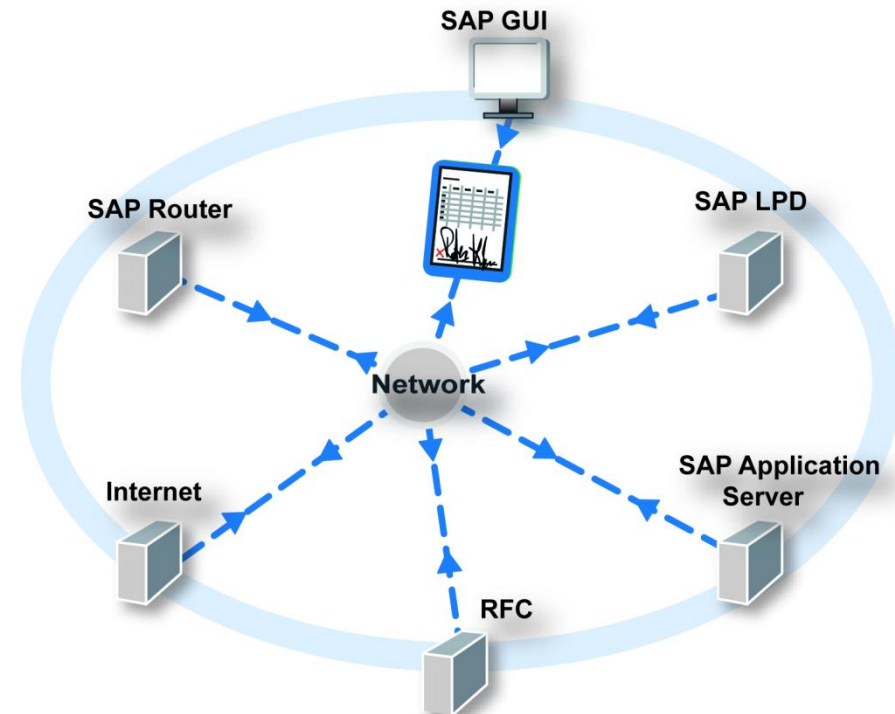
ARPAnet – 22:30 am 29. Oktober, 1969

Geltungsbereiche

- WAN – Wide Area Network
- MAN – Metropolitan Area Network
- LAN – Local Area Network
- PAN – Personal Area Network

Wired - Wireless

- Wi-Fi (IEEE 802.11x)
- Bluetooth
- xG



Virtual Network Computing

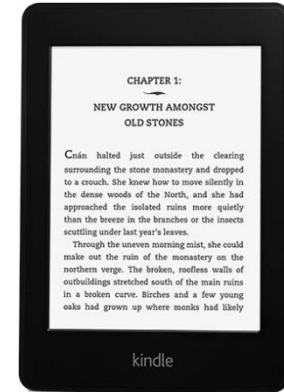
# P4: Mobile Computing



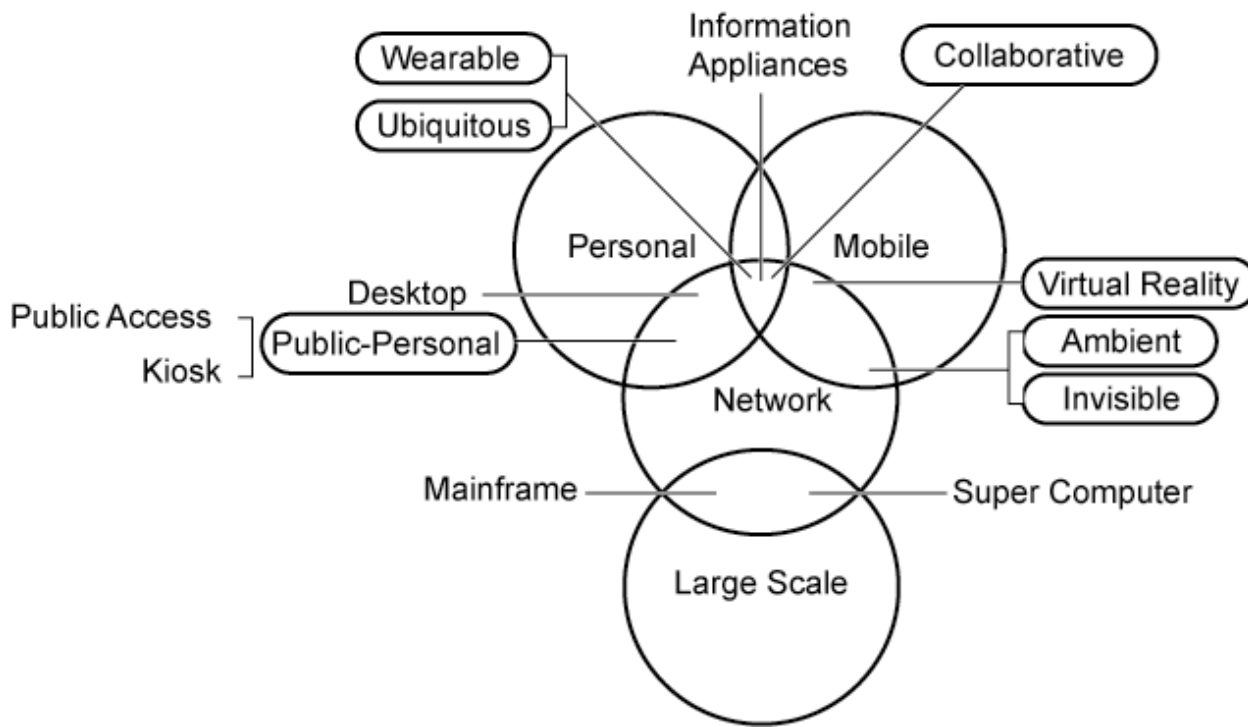
TECHNISCHE  
UNIVERSITÄT  
DARMSTADT

Es gibt viele verschiedene Arten von mobilen Geräten:

- Laptops
- Tablets
- Smartphones
- Spielekonsolen
- Musikplayer
- E-Reader
- ...



# Computing: Hardware & Paradigmen



## Kreise

- Grundlegende Paradigmen.

## Längliche Formen

- **Zusammenlaufende Paradigmen.**

## Nicht umrandete Ausdrücke

- Konkrete Systemarchitekturen (manchmal als Verweis auf ein Paradigma verwendet, wie z.B. in „Desktop Computing“, das für „Personal Computing“ steht).

# ZP1: Collaborative computing

## Multi-touch tables

...



Startseite > Region > Darmstadt

DARMSTADT

26. Juni 2013 | von Daniel Klose

| T T Schrift: - + |

### Kompromiss am Flachbildschirm

Fraunhofer-IGD – Institut für Grafische Datenverarbeitung entwickelt auch Techniken zur digitalen Bürgerbeteiligung



Wo können wir bauen? Staatssekretär Ingmar Jung vom Hessischen Ministerium für Wissenschaft und Kunst (Mitte) testet den Multitouch-Tisch, den das Fraunhofer-IGD zur besseren Einbindung der Bürgerschaft bei Bauprojekten entwickelt hat. Foto: Claus Völker

Windkanal-Simulationen für die Autoproduktion, Visualisierung von Bauprojekten zur Bürgerbeteiligung oder digitale Archivierung kostbarer Kulturschätze: Das Fraunhofer-Institut für Grafische Datenverarbeitung arbeitet an visuellen Lösungen für die Zukunft.

# ZP2: Virtual Reality



Virtuelle Realität soll Menschen in virtuelle Welten eintauchen lassen.

Dabei gibt es zwei Arten:



- Nicht-immersive Umgebungen
  - Bildschirm- und zeigerbasiert
  - 3D-Anzeige, eventuell haptisches Feedback
- Immersive Umgebungen
  - Es wird der Eindruck erweckt, tatsächlich in einer Welt aus virtuellen Objekten zu sein





Ein- und Ausgabegeräte:

- Head Mounted Display (HMD)
- Spatial Immersive Display (SID)
- Cave Automated Virtual Environment (CAVE)
- Head-Movement-Tracking-Systeme



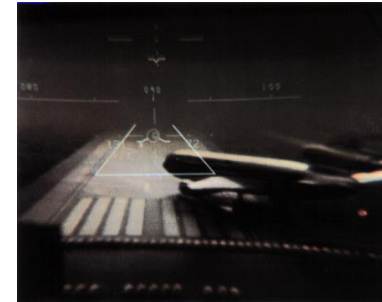
# Augmented Reality



Augmented Reality beschreibt die nahtlose Integration zwischen virtuellen und realen Objekten. Die Wahrnehmung des Benutzers soll so erweitert und verbessert werden.

Kriterien für Augmented Reality Umgebungen:

- Die virtuellen Informationen sollten relevant bezüglich und synchron mit der echten Welt sein.



Ein- und Ausgabegeräte:

Heads Up Displays (HUD)

- Optisch durchlässig
- Halbdurchlässige Anzeige

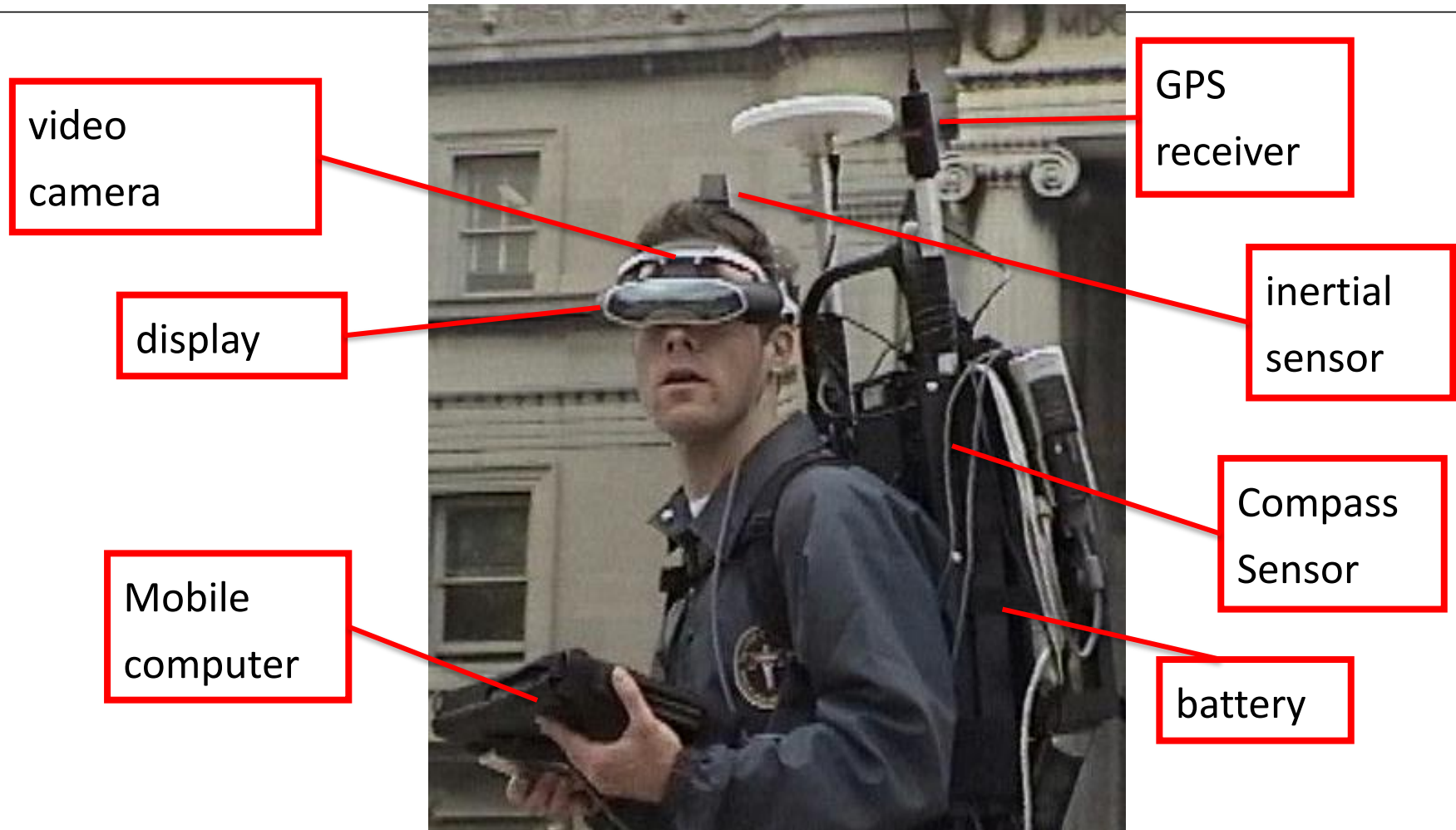
zB Windschutzscheibe



# Augmented Reality platform 1999



## Mobile Augmented Reality



MARS, Höllerer et al. ~1999

# Augmented Reality platform 2014



## Mobile Augmented Reality



# ZP3: Ambient / invisible

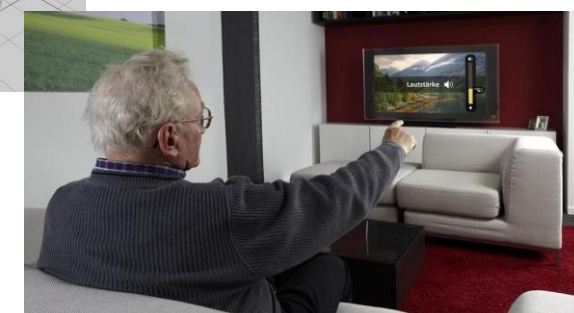
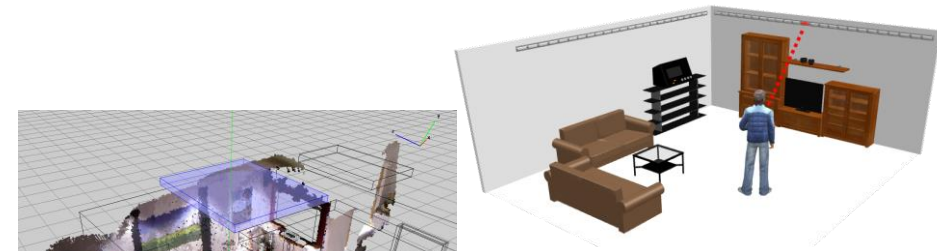


---

Lösungen, die das Leben erleichtern: zukunftsorientierten Ambient Intelligence / Ambient Assisted Living / Benutzerinteraktion in intelligenten Umgebungen

zB berührungslosen Freiraum-Gestenerkennung

- Kinect
- Kapazitive Sensoren
- <http://www.opencapsense.org>



# ZP: Wearable / Ubiquitous



“Nach dem Smartphone beginnt die Smartwatch auf dem digitalen Markt Fuß zu fassen.

Ihre Vorteile: man muss sie nicht erst aus der Tasche holen und hat die Hände frei.“

„Smartwatches bieten viel mehr als nur die Uhrzeit. Drahtlos mit einem Smartphone verbunden, zeigen sie E-Mails oder Kurzmitteilungen an. Der Träger sieht wer gerade anruft, noch ehe er in die Tasche nach dem Handy greift. Smartwatches können sich mit anderen Geräten verbinden, haben einen Vibrationsalarm und verfügen über Sensoren die Bewegungen erkennen.“



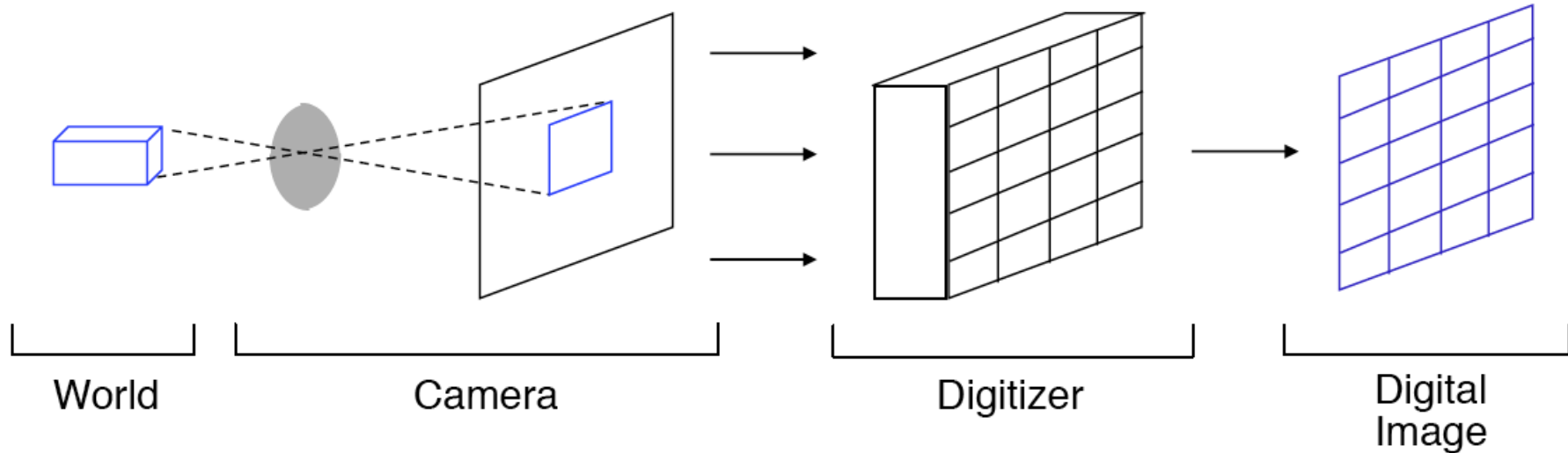


- Hardware
- **Computergrafik**
  - **Geschichte**
- Grafikpipeline
  - Anwendung
  - Geometrieverarbeitung
  - Rasterisierung
  - Ausgabe

# Computergrafik



TECHNISCHE  
UNIVERSITÄT  
DARMSTADT

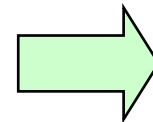


Computergrafik: Prozess von links nach rechts

Computer Vision: Prozess von rechts nach links

## Modellierung

3D Objekte



3D-Modelle

- Szene
- Geometrie
  - Polygon-Netz
- Material
- Beleuchtung

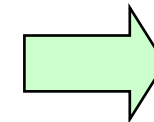
Notwendig für  
Darstellung:

- Rasterisierung

## Darstellung

Bilder

- Interaktion
- Animation

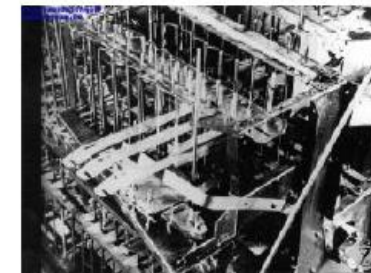
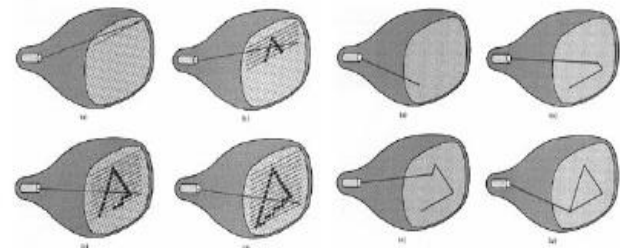


# Die Anfänge



TECHNISCHE  
UNIVERSITÄT  
DARMSTADT

- 1885: Erfindung des CRT (Cathode Ray Tube)
- 1938: Erster mechanischer Computer, Z1, von Konrad Zuse
- 1946: ENIAC
  - Electronic Numerical Integrator and Computer
  - Zahlenrepräsentation durch Elektronenröhren



Quelle: Marc Pauly, ETH Zurich

# Die Anfänge



TECHNISCHE  
UNIVERSITÄT  
DARMSTADT

- 1946: MIT Whirlwind computer
  - Erster Computer mit Echtzeitdisplay
  - Flugsimulator für US-Marine
  - CRT-Ausgabe, Lightpen-Eingabe
- 1947: Erfindung des Transistors
- 1959: TX-2, entwickelt am MIT
  - Erster transistorbasierter Computer,  
9 Zoll CRT und Lightpen

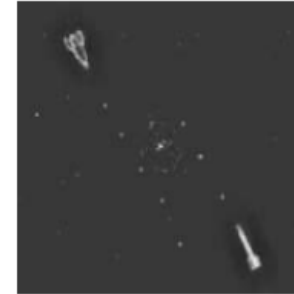


Quelle: Marc Pauly, ETH Zurich

# 60er Jahre

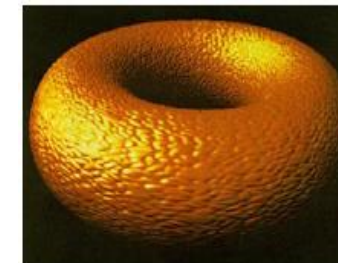
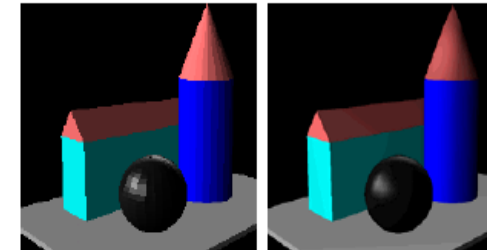


- 1961: SpaceWar
  - Erstes Computerspiel am MIT
- 1963: Sketchpad auf dem TX-2
  - Von Ivan Sutherland, dem „Großvater“ der interaktiven Computergrafik
- 1968: Maus (Douglas Engelbart)
- 1969: ACM SIGGRAPH
- 1969: Erster Frame Buffer
- 1969: Erste GUI von Alan Kay (Xerox)



Source: Marc Pauly, ETH Zurich

- 1971: Henri Gouraud:
  - Interpoliertes Shading
- 1974: Ed Catmull:
  - Texture Mapping, Z-Buffer
- 1975: Bui-Tuong Phong:
  - Normal Interpolation Shading
- 1975: Utah Teapot
- 1977: Jack Bresenham:
  - Scan Conversion Algorithmen
- 1978: Jim Blinn:
  - Bump Mapping

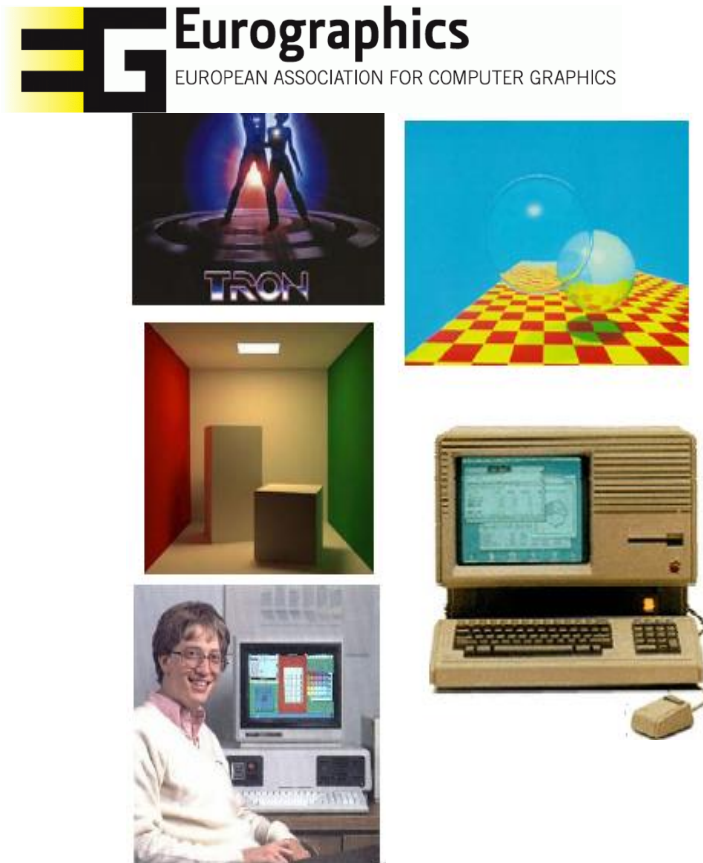


Source: Marc Pauly, ETH Zurich



# 80er Jahre

- 1980: Eurographics
  - Mitglied Nr. 1: José Encarnação (TU Darmstadt und Fraunhofer IGD)
- 1980: Turner Whitted: Ray Tracing
- 1982: Silicon Graphics (SGI)
- 1982: Marr: Primal Sketch
- 1982: TRON (Disney):
  - 15-minütiger Anteil an computergenerierten Bildern
- 1983: Apple Lisa: Erster PC mit GUI
- 1983: Witkin 1D Scale space
- 1984: Koenderink: 2D Scale Space
- 1984: Goral et al.: Radiosity
- 1985: Microsoft Windows 1.01
- 1986: MIT: X-Window System



Source: Marc Pauly, ETH Zurich

# 90er Jahre



- 1990: Perona - Malik
- 1990: Total Variation (Rudin)
- Anfang 1990er Jahre: Prophezeiung  
„Computer sich verteilen sich auf das Netz“
- 1992: OpenGL von SGI veröffentlicht
- 1995: GMD (heute Fraunhofer FIT)
  - BSCW (heute „Cloud“)
- 1995: Toy Story:
  - Erster Film in voller Länge, der vollständig computeranimiert ist
- 1996: 3Dfx Voodoo:
  - Erster 3D-Beschleuniger für PCs, texturierte Dreiecke
- 1998: Schneiderman and Kanade:
  - Gesichtsdetektion
- 1999: GeForce256:
  - Transformationen und Beleuchtung
- 1999: PC-Grafik erreicht höhere Performance als SGI-Grafik-Workstations



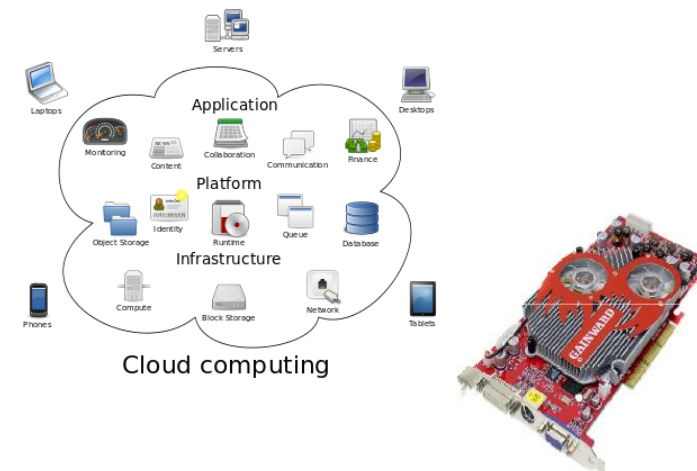
Source: Marc Pauly, ETH Zurich



# 2000 – 2005



- 2001: Viola & Jones:
  - Real-time Gesichtsdetektion
- 2001: GeForce 3
  - Programmierbare Transformationen und Beleuchtung
- 2001: Final Fantasy
  - Menschliche Darsteller werden durch computergenerierte Modelle ersetzt
- 2004: Facebook
- 2004: GeForce FX, ATI Radeon 9800XT
  - ~ 4000 Mio. Texel pro Sekunde
  - ~ 400 Mio. Vertizes pro Sekunde
- 2005: XBOX 360
  - ~ 8000 Mio. Texel pro Sekunde
  - ~ 1200 Mio. Vertizes pro Sekunde

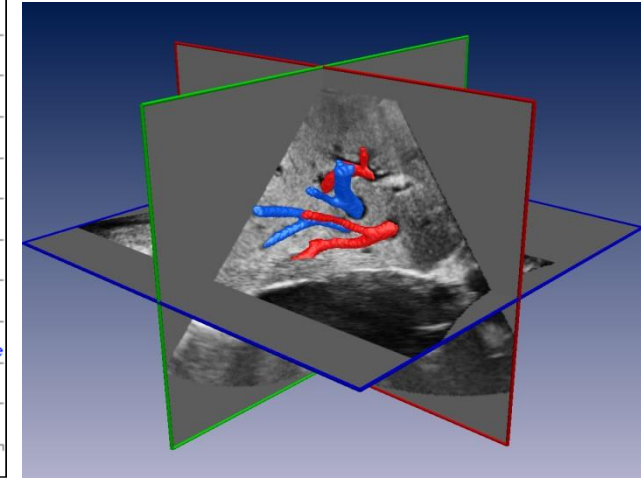
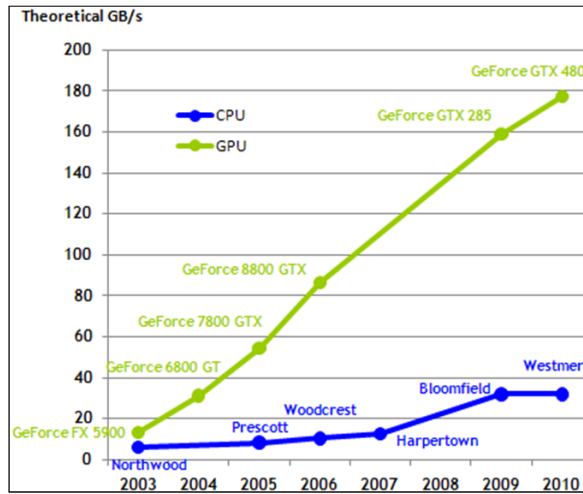


Source: Marc Pauly, ETH Zurich

- 2006: Amazon: (serviceorientierte) Architektur
- 2007: iPhone.
  - Berührungsempfindlich, iOS 1.0,  
480 × 320 Pixel, 2MP Kamera
- 2009: Big Bang in Machine Learning (NVIDIA)
- 2011: Deep-Learning-basierte Bilderkennung ist "übermenschlich" geworden
  - Liefert genauere Ergebnisse als menschliche Teilnehmer
- 2015: AlphaGo
- 2020: [NeRF: Neural Radiance Fields](#)
- 2022: Stable Diffusion



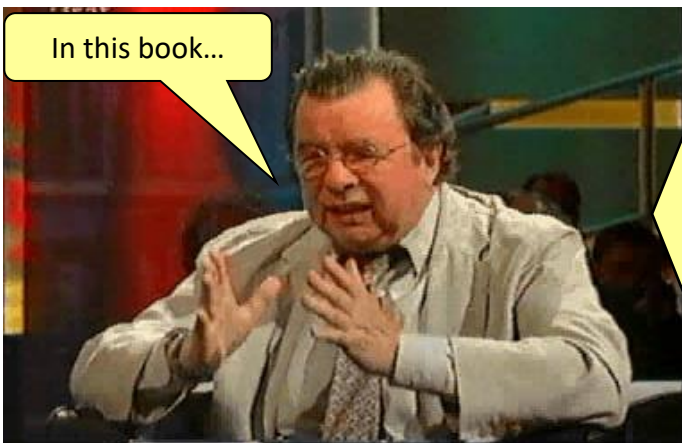
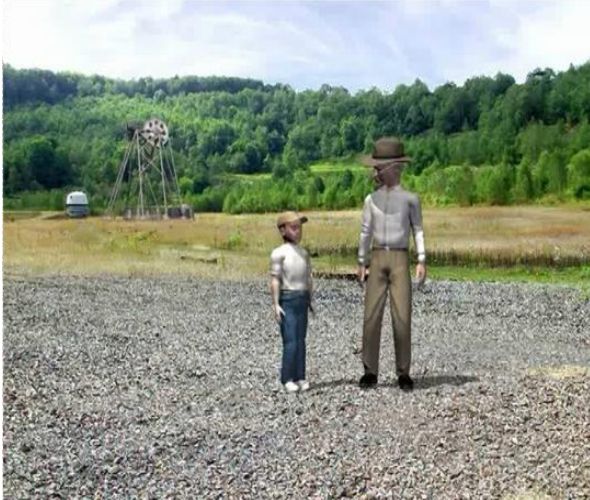
- Cloud
- Immersiv
- 3D
- Mobil
- Interaktiv
- Deep(-er) learning
- Quantum...



# Beispiel: Virtuelle Charakter



TECHNISCHE  
UNIVERSITÄT  
DARMSTADT





## Unterschiedliche Darstellung



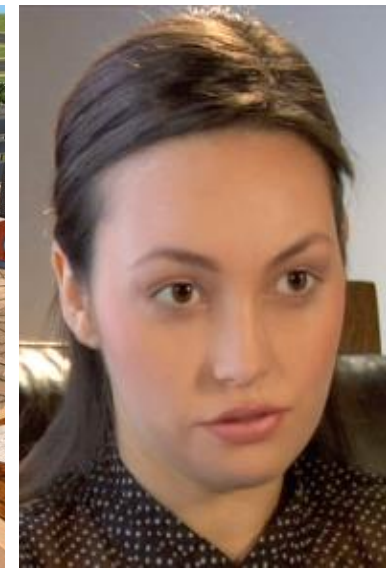
Sketches



Comic-Style



Artificial



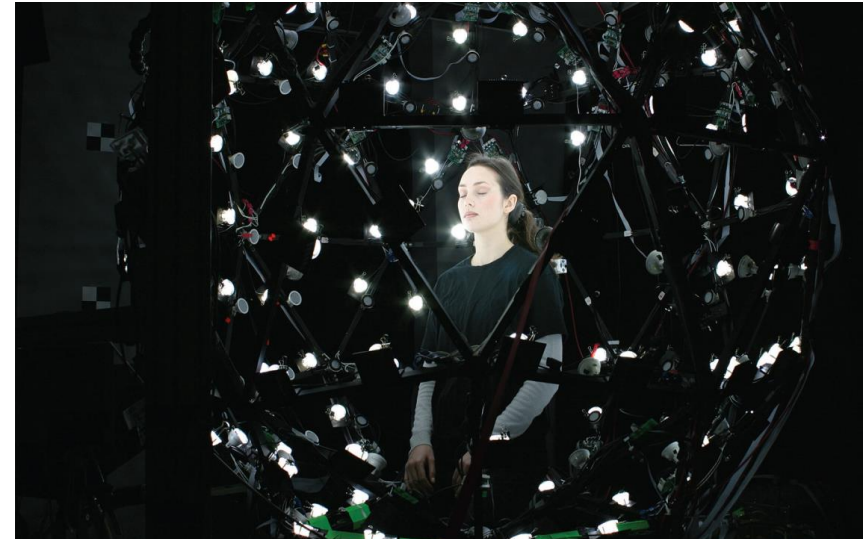
Human-like



# Digital Emily



TECHNISCHE  
UNIVERSITÄT  
DARMSTADT



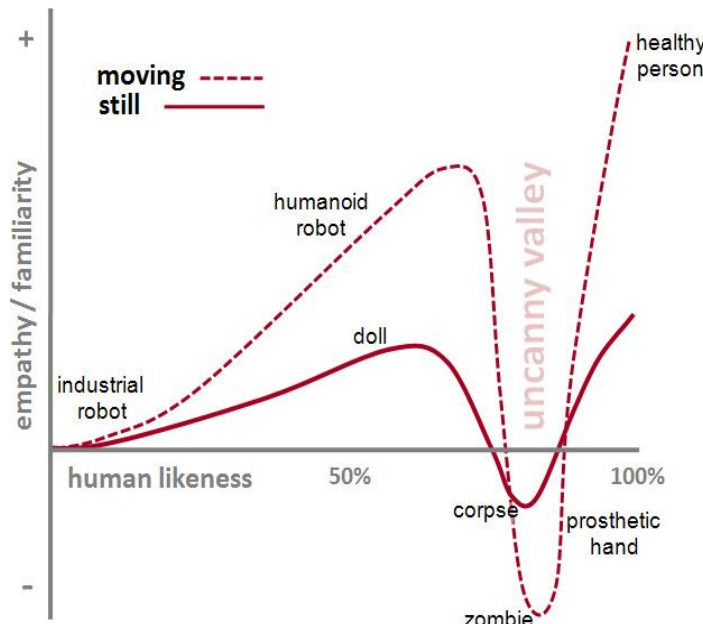
**Table 1. Digital Emily process time frames and resources for 24 frames-per-second output at  $1,920 \times 1,080$  pixels.**

Process	Resources
Scanning	1.5 hours total, 3 seconds per scan, 3 technicians
Scan processing	10 days, 37 processed scans, 1 artist
Rig construction	3 months, 75 blendshapes, 1 artist
Animation	2 weeks, 90 seconds of animation, 2 animators
Rendering/compositing	3 months, 1 artist

# The “uncanny valley”



Eine hypothetische Beziehung zwischen dem Grad der Ähnlichkeit eines Objekts mit einem Menschen und der emotionalen Reaktion auf ein solches Objekt.



<https://www.youtube.com/watch?v=CNdAIPoh8a4>

(Mehr: [<https://de.wikipedia.org/wiki/Uncanny\\_Valley>](https://de.wikipedia.org/wiki/Uncanny_Valley) & Google Bilder, Youtube)

# Rendering



TECHNISCHE  
UNIVERSITÄT  
DARMSTADT

Blau?



Youtube:

[Avatar Motion Capture Mirrors Emotions \(High\).flv](#)

[Making-off «Tintin», Nick Frost and Simon Pegg \(Low\).flv](#)



- Hardware
- Computergrafik
  - Geschichte
- **Grafikpipeline**
  - **Anwendung**
  - **Geometrieverarbeitung**
  - **Rasterisierung**
  - **Ausgabe**

## Modellierung

3D Objekte



3D-Modelle

- Szene
- Geometrie
  - Polygon-Netz
- Material
- Beleuchtung

Notwendig für  
Darstellung:

- Rasterisierung

## Darstellung

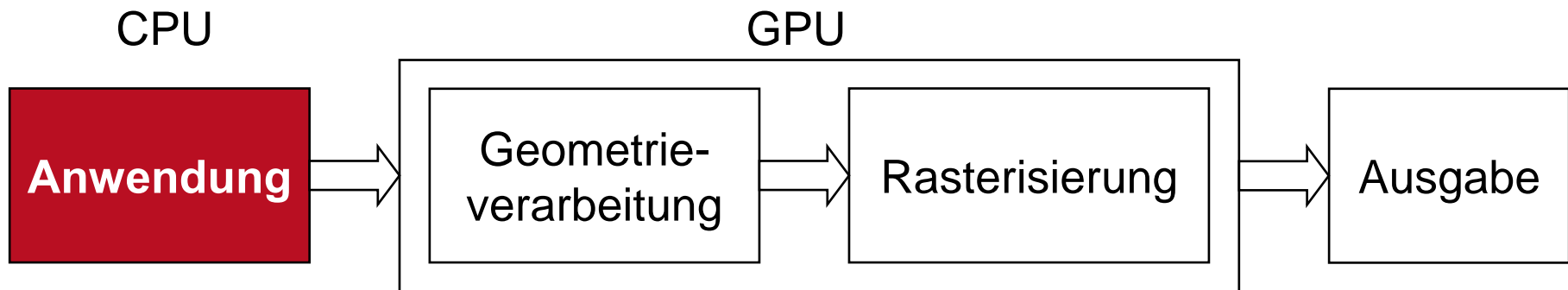
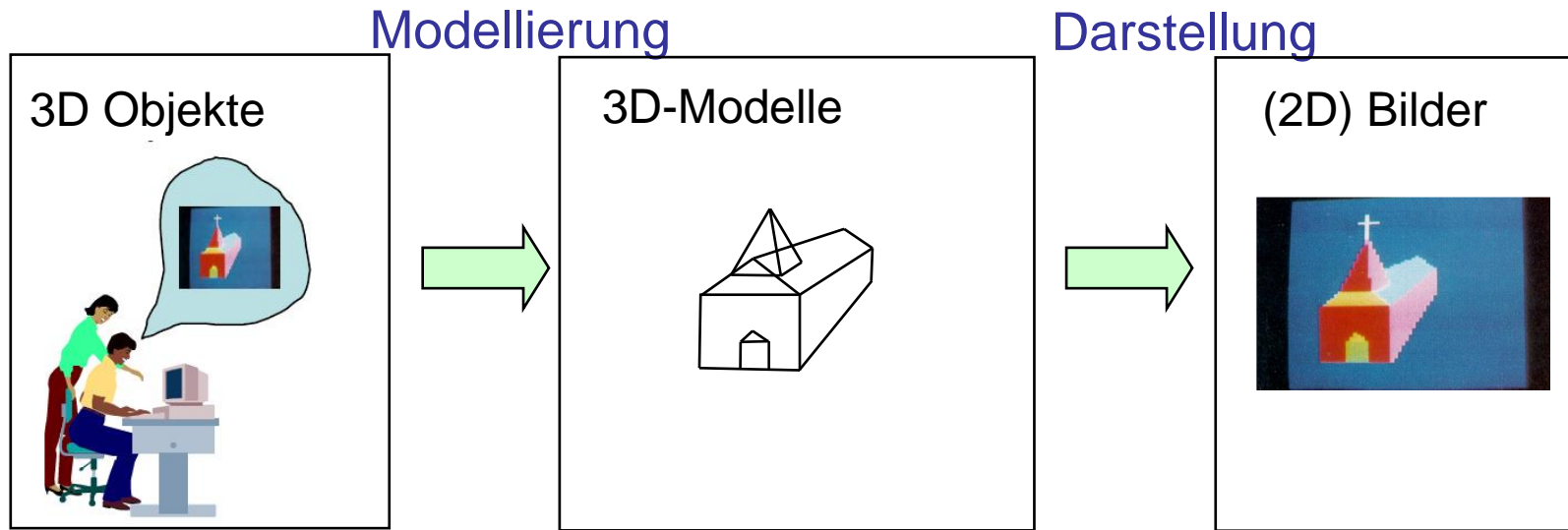
Bilder

- Interaktion
- Animation

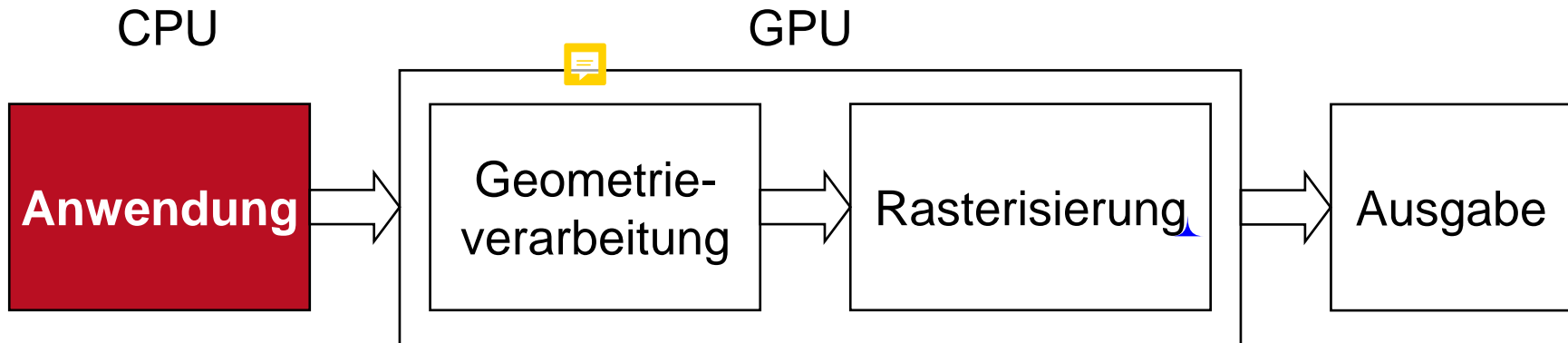
# 3D-Grafik-Pipeline - Schematisch



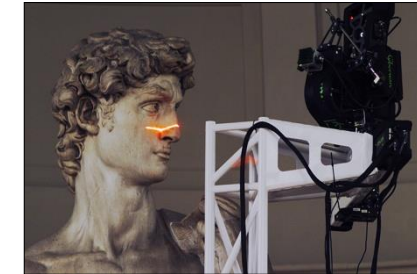
TECHNISCHE  
UNIVERSITÄT  
DARMSTADT



# Grafikpipeline: Anwendung



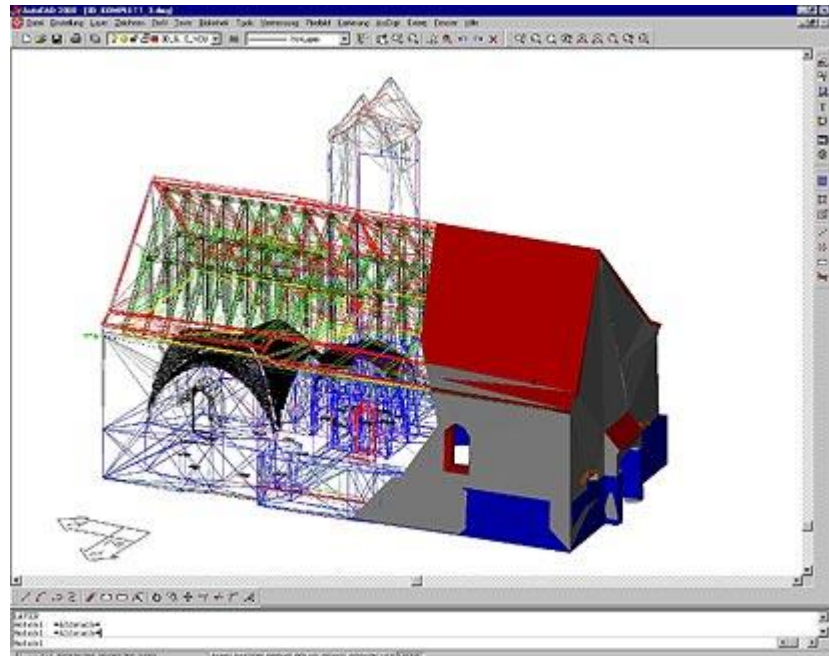
- **Eingabe grafischer Daten**
- Repräsentation von 3D-Daten
  - Grafische Primitive
  - Transformationen
  - Räumliche Datenstrukturen



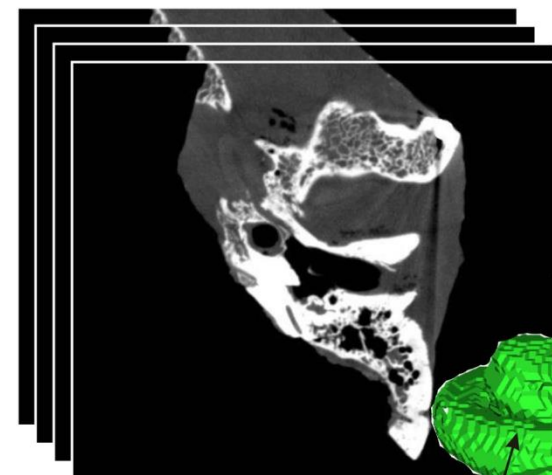
# Generierung von 3D-Modellen



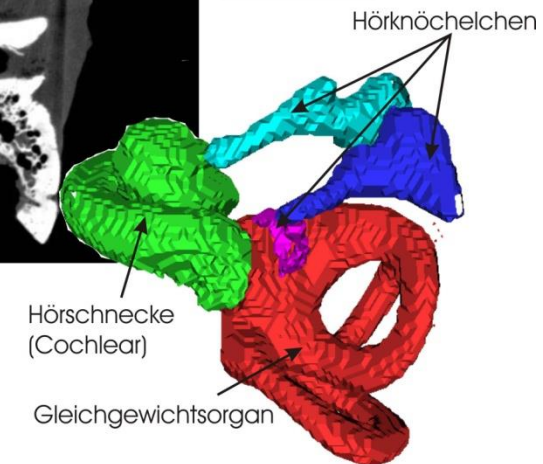
TECHNISCHE  
UNIVERSITÄT  
DARMSTADT



CT-Schichtbilder:



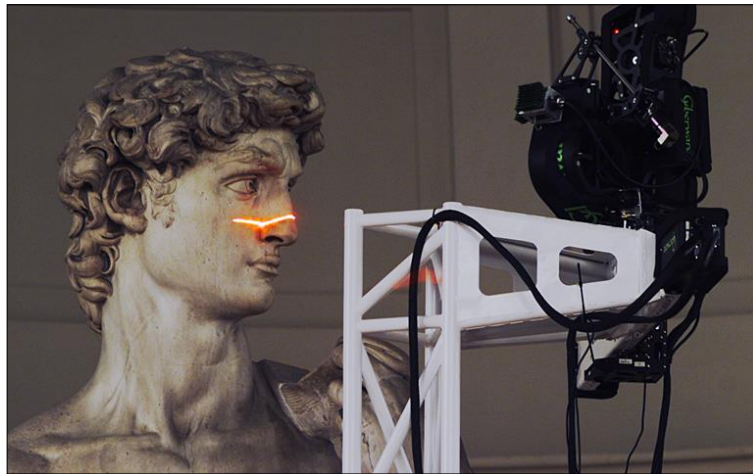
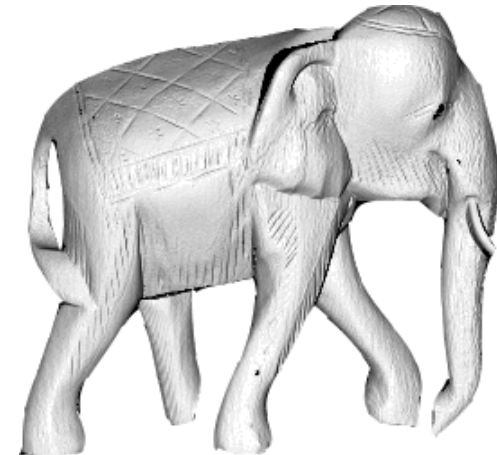
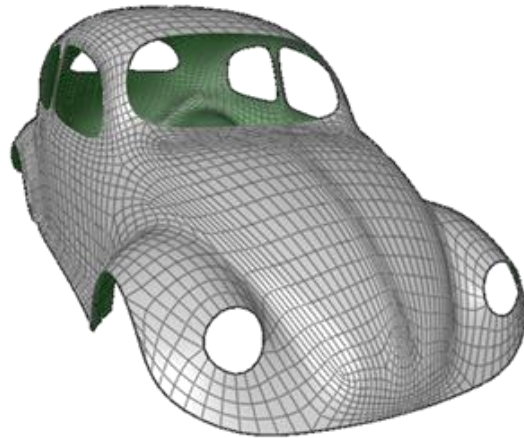
3D-Modell:



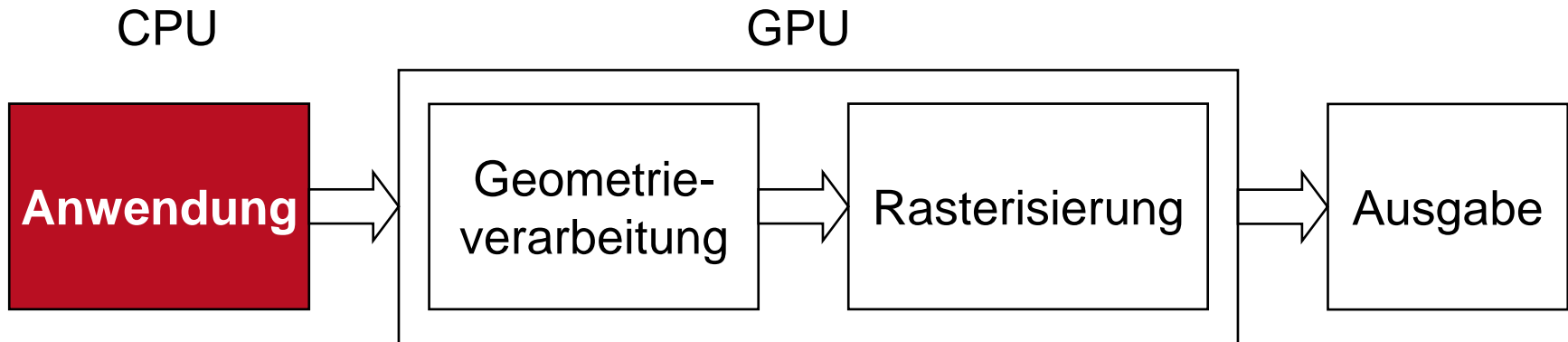
# Abtastung realer Objekte



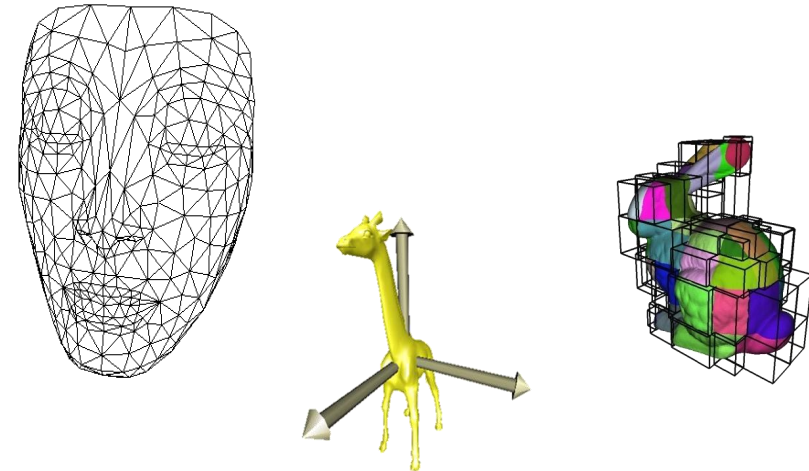
TECHNISCHE  
UNIVERSITÄT  
DARMSTADT



# Grafikpipeline: Anwendung



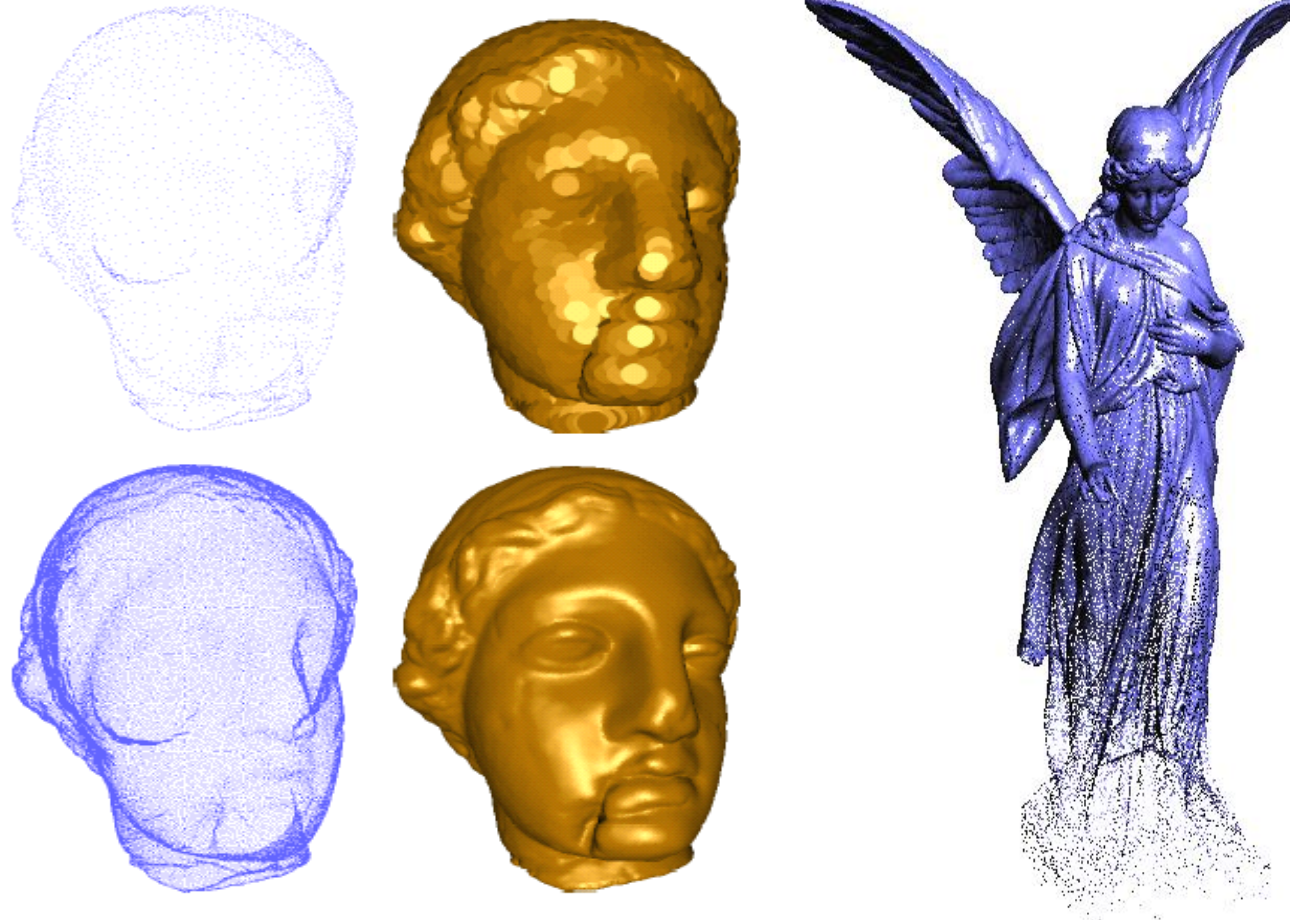
- Eingabe grafischer Daten
- **Repräsentation von 3D-Daten**
  - **Grafische Primitive**
  - Transformationen
  - Räumliche Datenstrukturen



# Primitive – Punkte



TECHNISCHE  
UNIVERSITÄT  
DARMSTADT



# Primitive – Linien



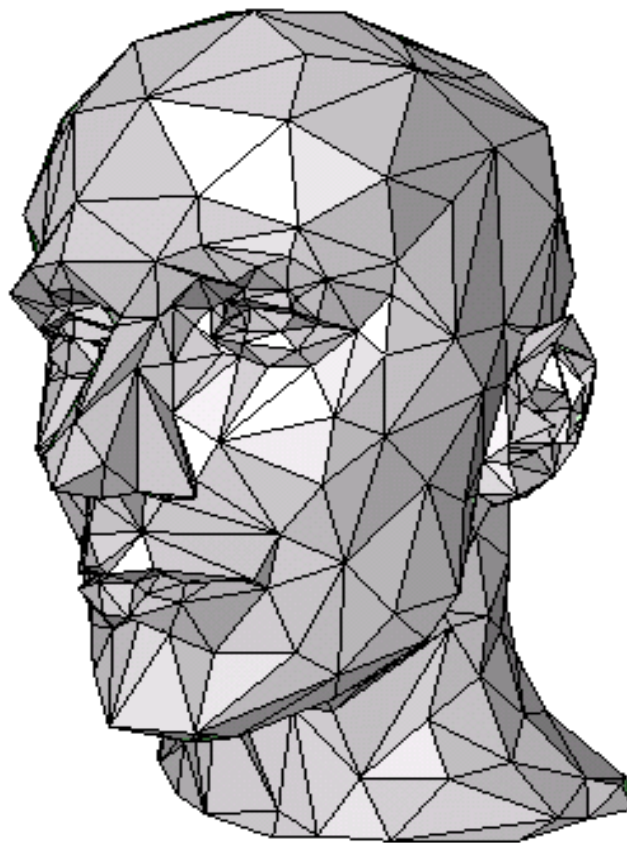
TECHNISCHE  
UNIVERSITÄT  
DARMSTADT



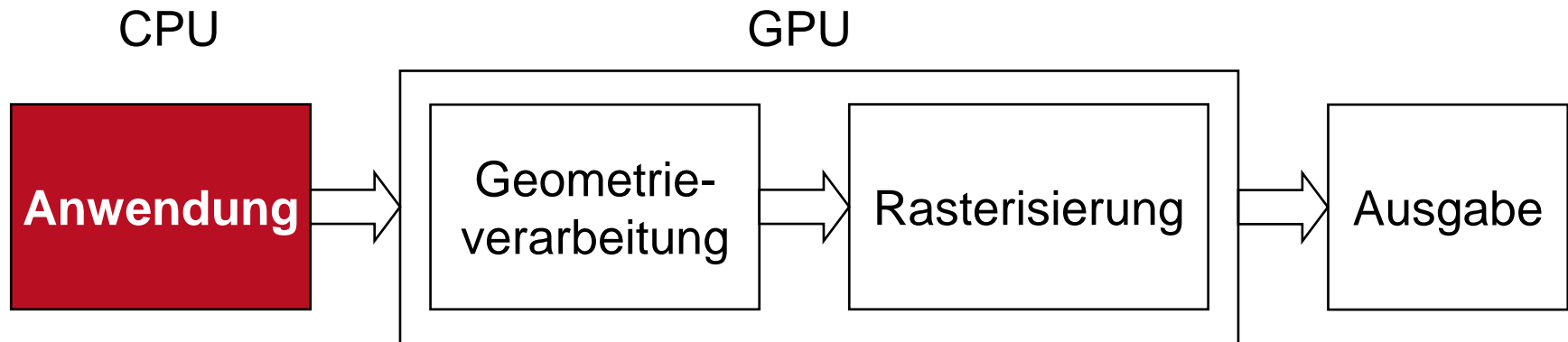
# Primitive – Dreiecke



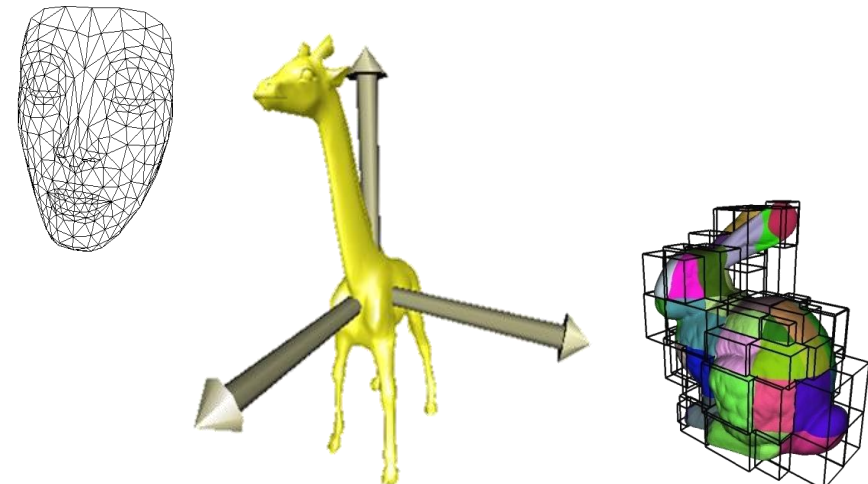
TECHNISCHE  
UNIVERSITÄT  
DARMSTADT



# Grafikpipeline: Anwendung



- Eingabe grafischer Daten
- **Repräsentation von 3D-Daten**
  - Grafische Primitive
  - **Transformationen**
  - Räumliche Datenstrukturen



# Primitive – Positionierung

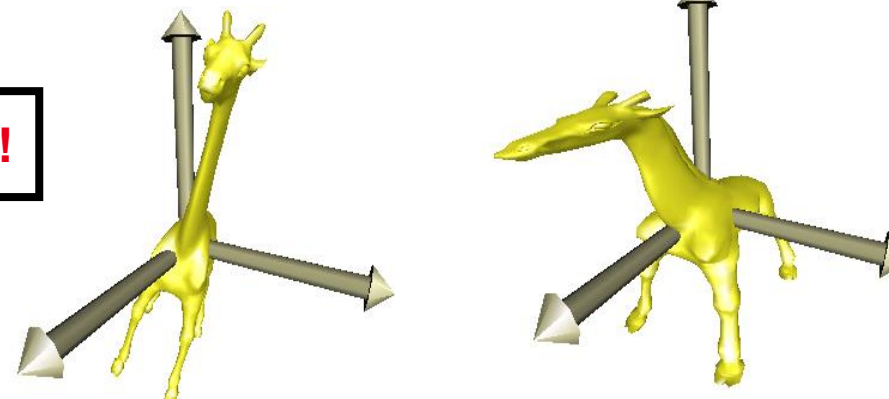
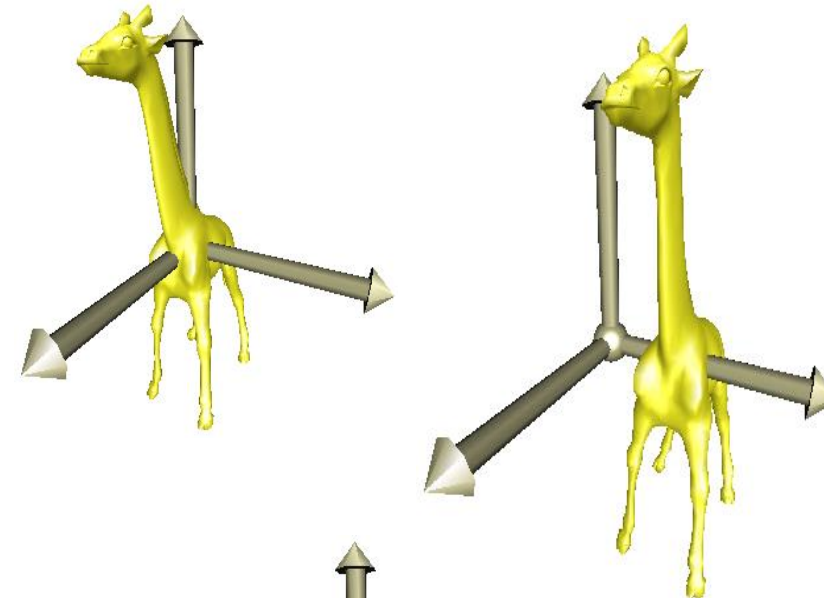


TECHNISCHE  
UNIVERSITÄT  
DARMSTADT

Transformation + relative Koordinaten

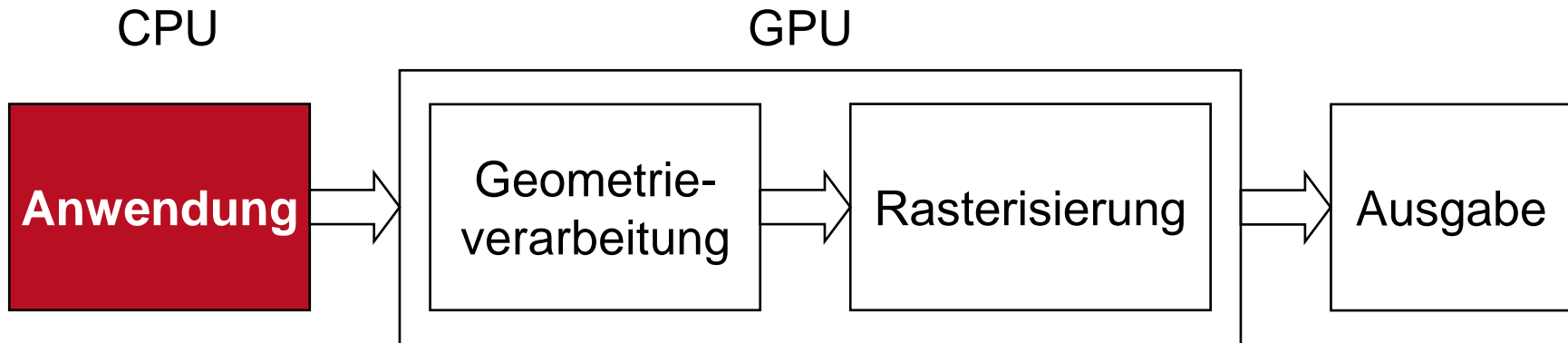
- Translation
- Rotation
- Skalierung
- Scherung

affine Abbildungen / Transformationen!

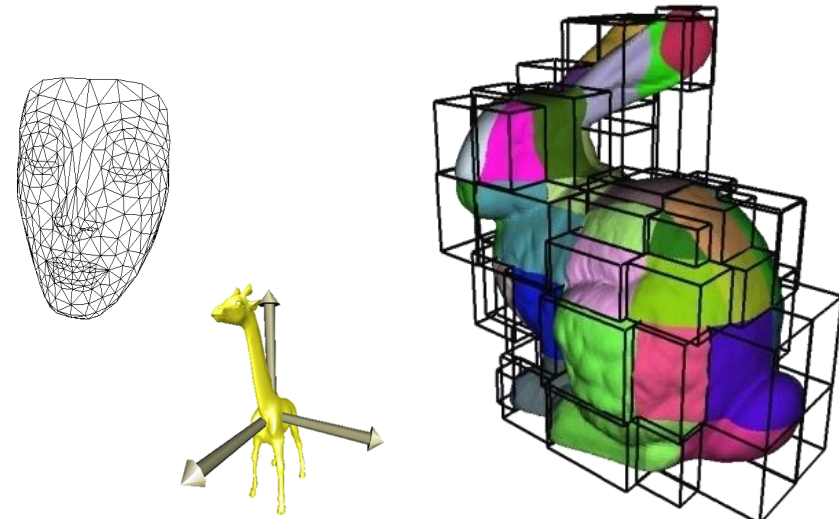


**Nächste Vorlesung!**

# Grafikpipeline: Anwendung



- Eingabe grafischer Daten
- **Repräsentation von 3D-Daten**
  - Grafische Primitive
  - Transformationen
- **Räumliche Datenstrukturen**

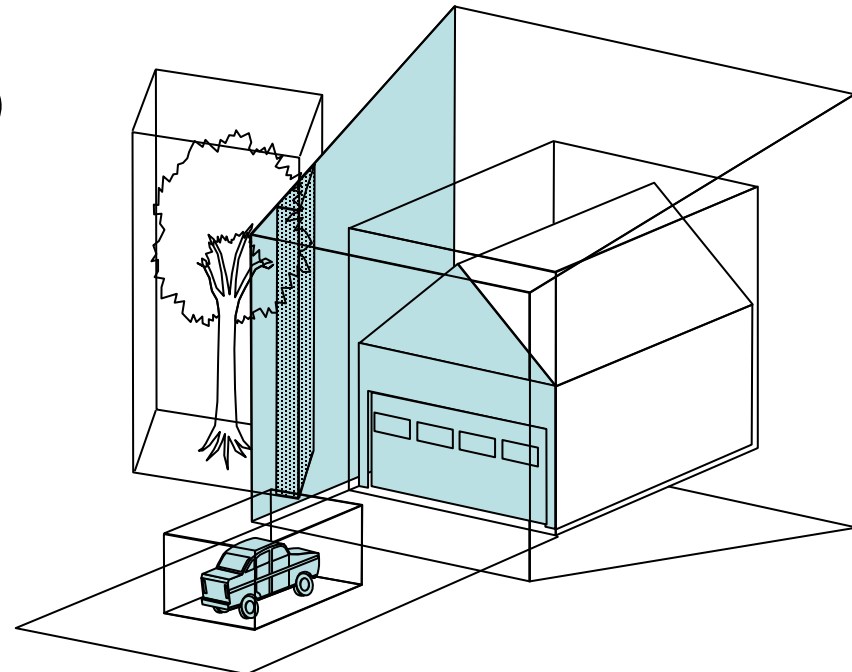


# Räumliche Datenstrukturen - Anwendungen



TECHNISCHE  
UNIVERSITÄT  
DARMSTADT

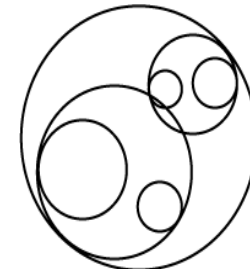
View Frustum Culling  
(Objekt in Sichtvolumen sichtbar?)  
Occlusion Culling / z-Buffer  
(Verdeckung)  
Kollisionserkennung





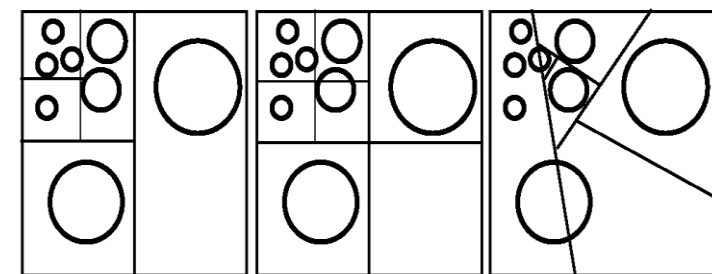
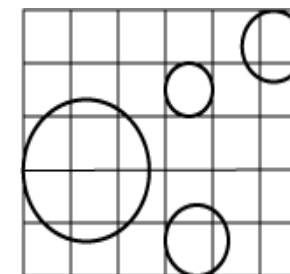
## Hüllkörperhierarchie

- Bsp.: Bounding Sphere Hierarchy



## Raumunterteilung

- Regulär: Gitter
- Irregulär / Hierarchisch
  - k-d Tree (achsenparallele BSP-Bäume)
  - Uniform: Quadtree (2D) / Octree (3D)
  - BSP („Binary Space Partitioning“) Tree



kd-tree

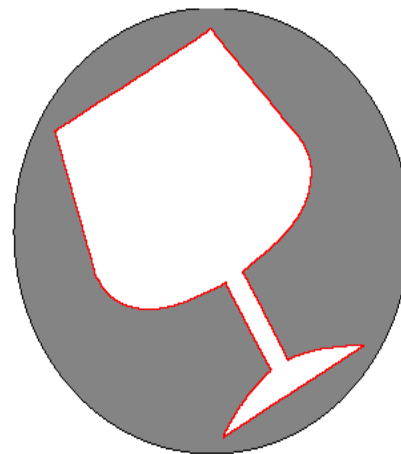
oct-tree

bsp-tree

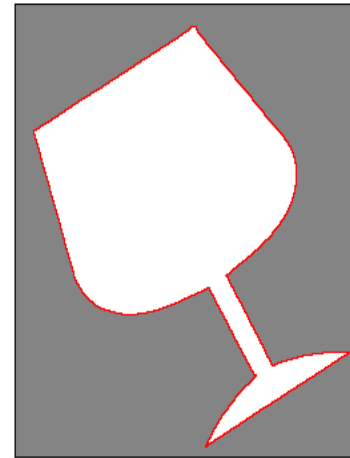
# Hüllkörper (Bounding Volumes)



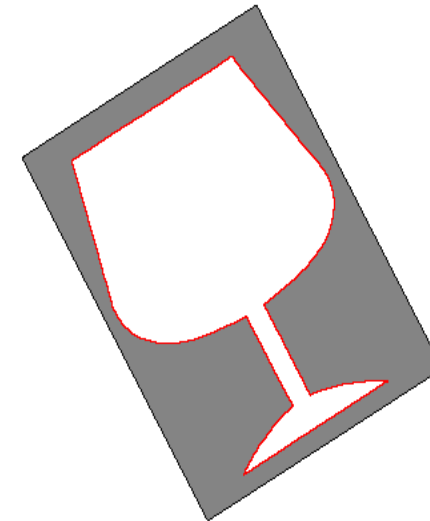
Hüllkörper müssen einfach sein, d.h. Schnitttests mit anderen Primitiven (Sichtvolumen, Sehstrahl) müssen sich einfach berechnen lassen.



Kugel



Achsenparallele  
Bounding Box (BB)



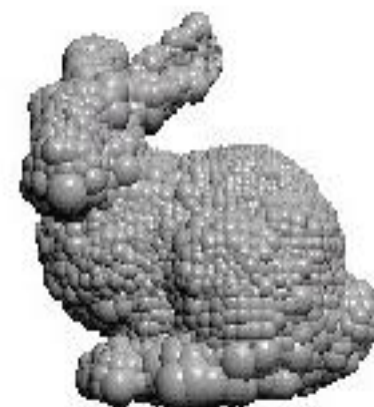
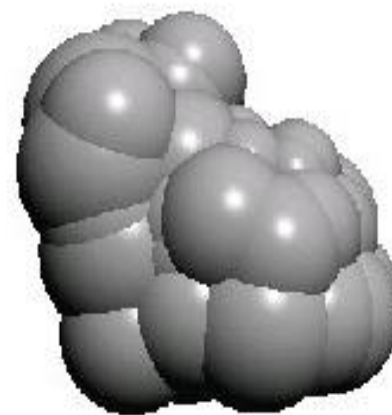
Orientierte BB

# Hüllkörperhierarchien - Konstruktion



TECHNISCHE  
UNIVERSITÄT  
DARMSTADT

Beispiel: Bounding Sphere Hierarchy



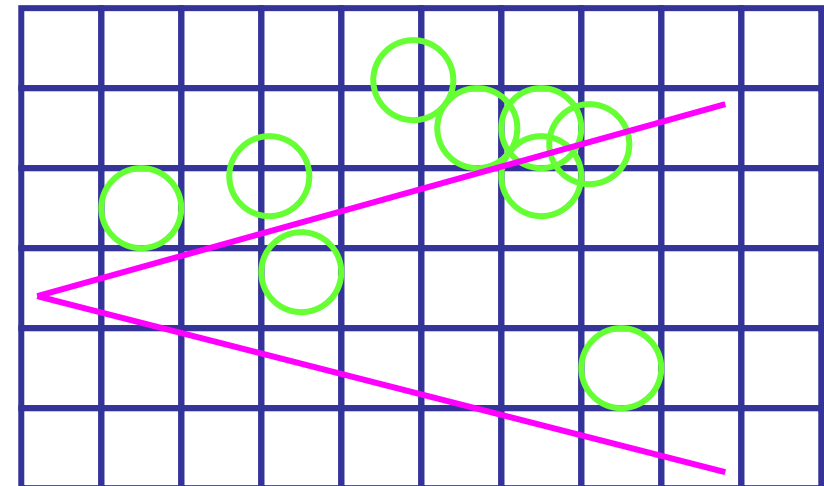
# Raumunterteilungen

## Achsenparallele Gitter (Grids)



TECHNISCHE  
UNIVERSITÄT  
DARMSTADT

- einfach
- Objekt ist in mehreren Zellen enthalten (Objektredundanz)
- kann sich der Geometrie nicht anpassen
- Sehr specheraufwändig
- Effizient traversierbar
- Schneller Zugriff auf Nachbarn ist möglich
- Voxel- / Volumendarstellung

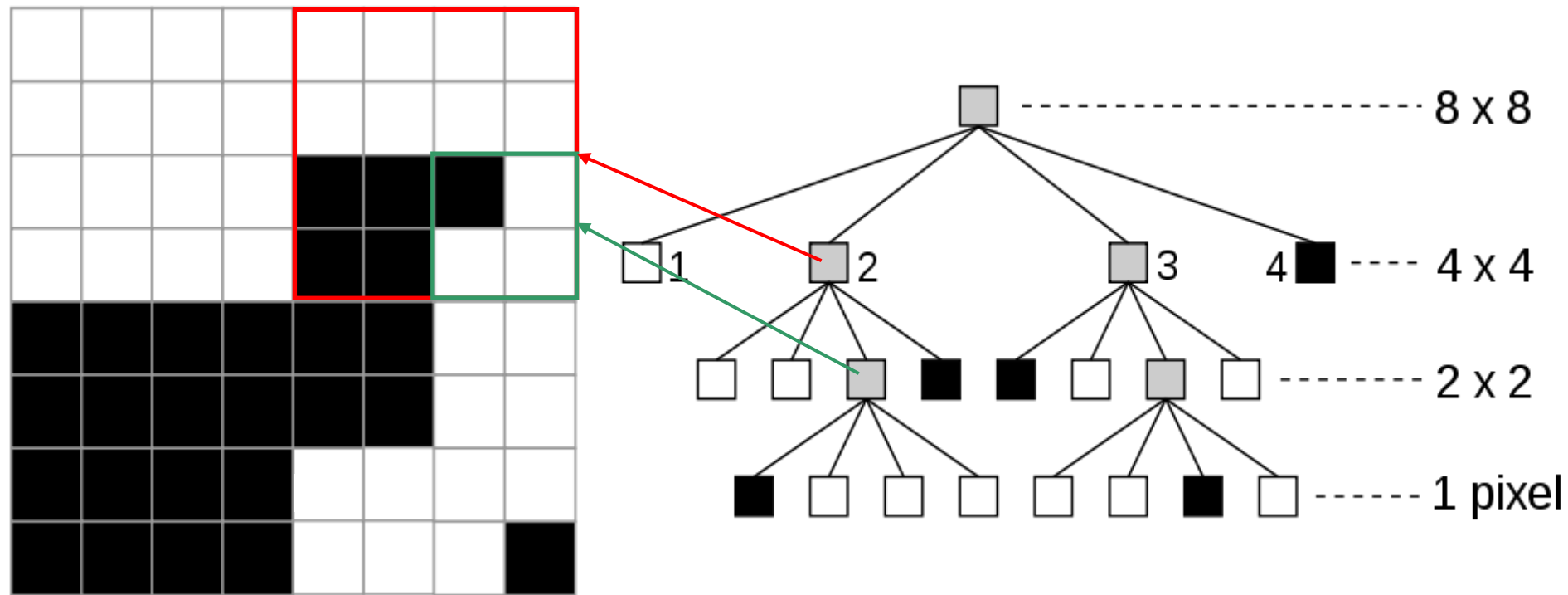


# Raumunterteilungen

## Quadtree/Octree



TECHNISCHE  
UNIVERSITÄT  
DARMSTADT

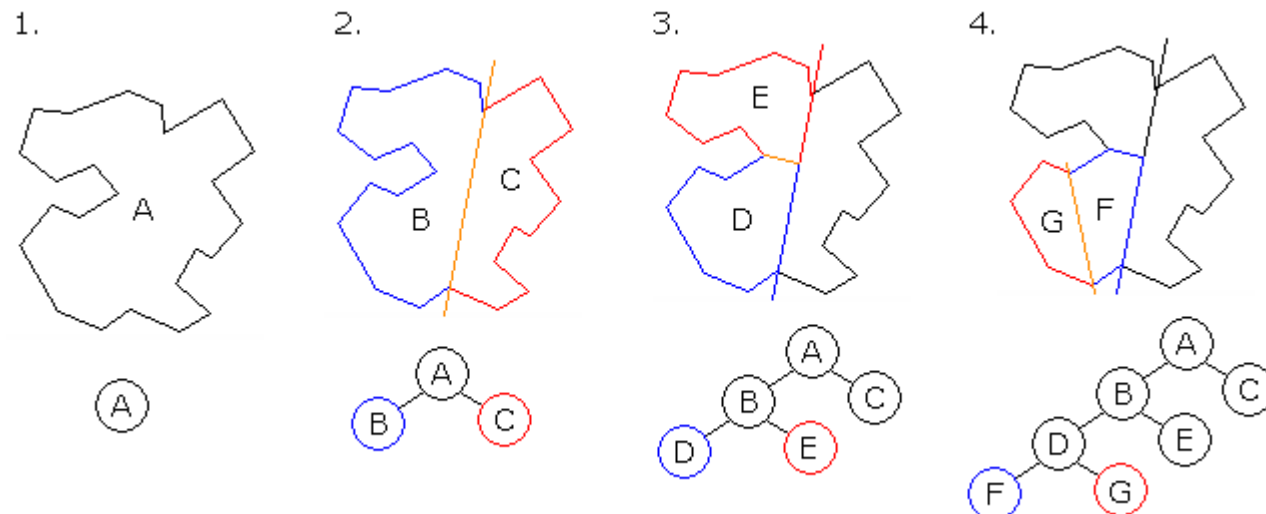


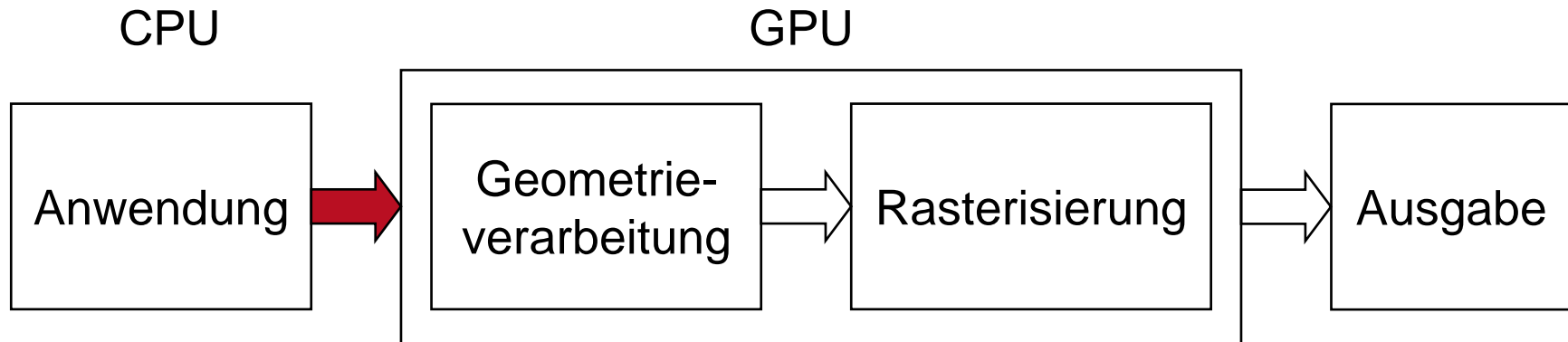
# Raumunterteilungen Binary Space Partition (BSP)



BSP Bäume: Raum wird binär unterteilt

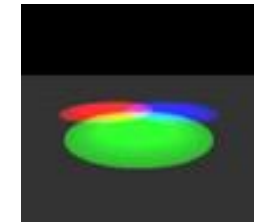
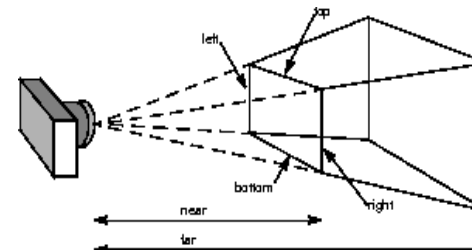
- Jeder Knoten entspricht einer Unterteilungsebene, welche den Raum in zwei Halbräume unterteilt.
- Man teilt an den durch Polygone induzierten Ebenen



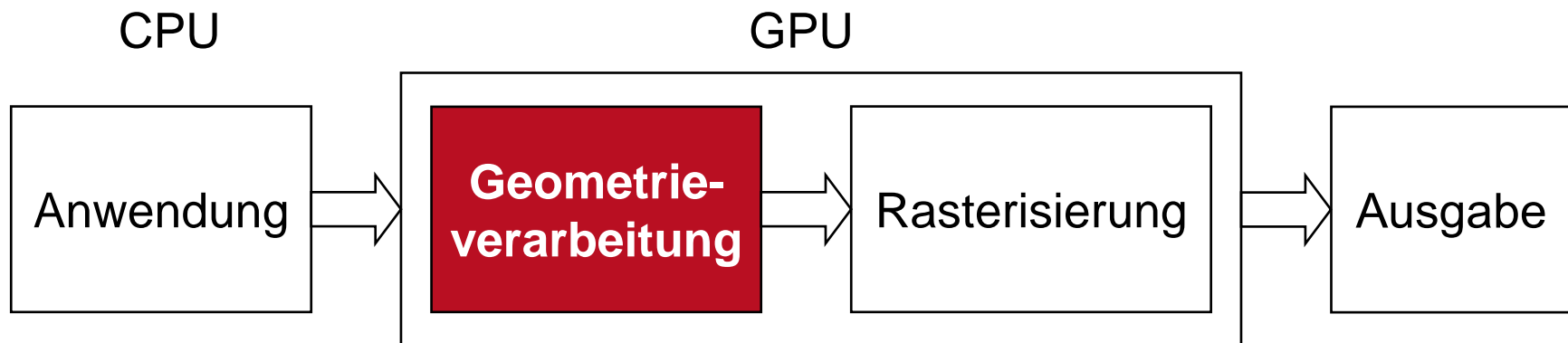


## Modellierung:

- Betrachter (Kamera)
- Lichtquellen

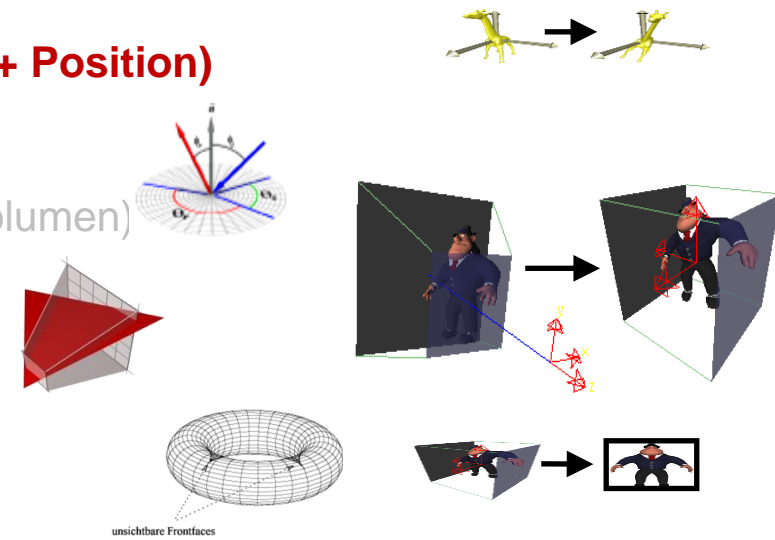


# Grafikpipeline: Geometrieverarbeitung



## ▪ Modell Transformation (kanonische Orientierung + Position)

- Simulation der Beleuchtung (in den Knoten)
- Perspektivische Transformation (kanonisches Sichtvolumen)
- Clipping (Abschneiden)
- Culling (Verdeckungsrechnung im Objektraum)
- Projektion

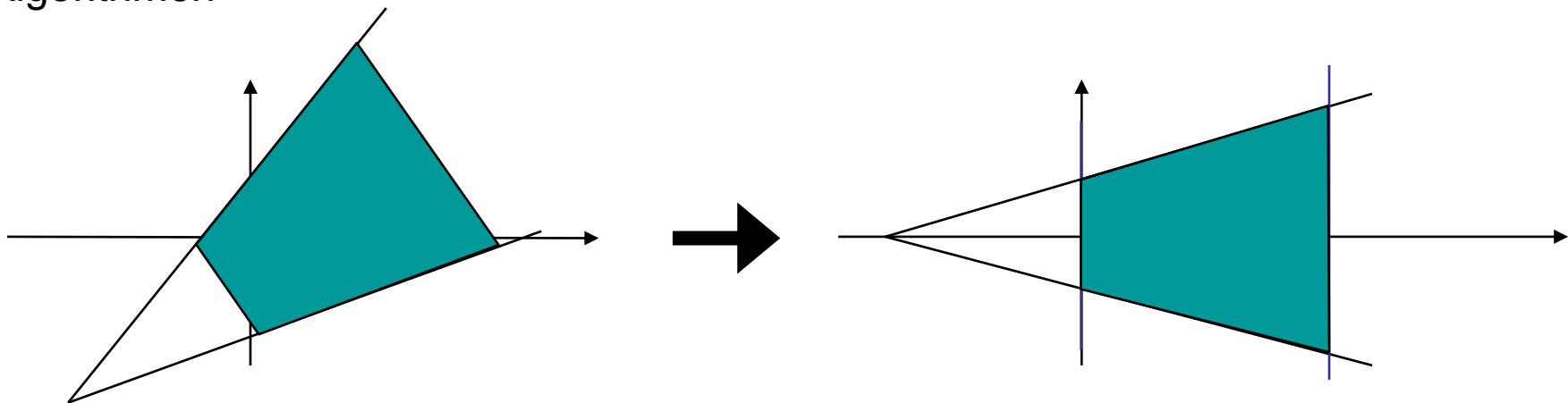
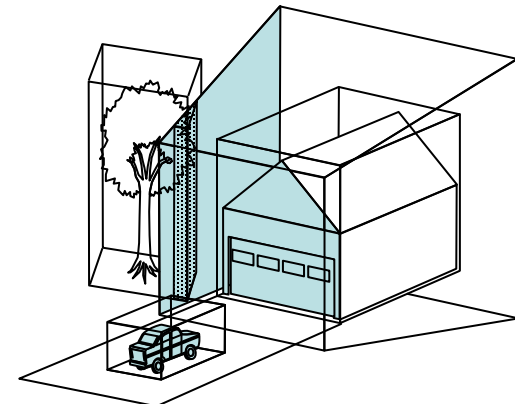


# Kanonische Position und Orientierung

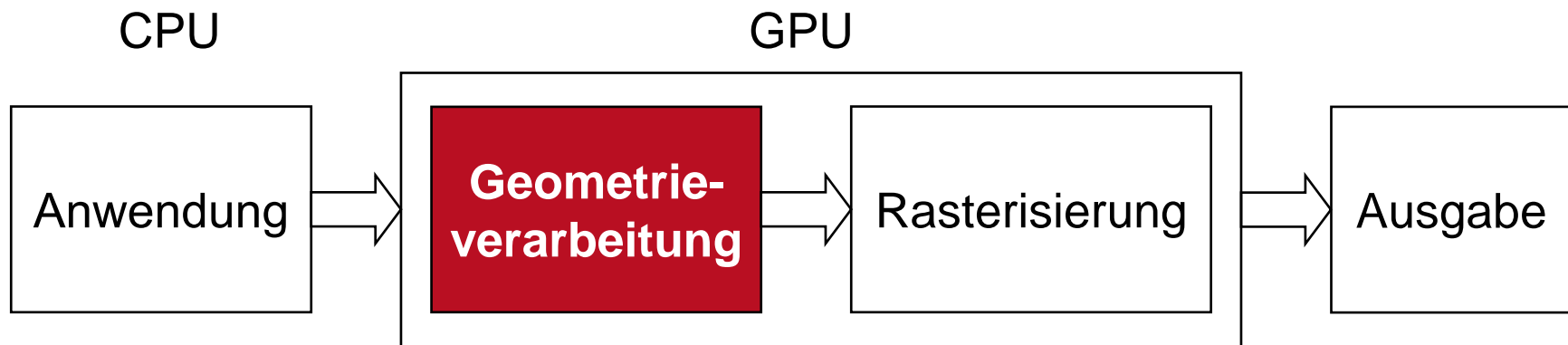


Sichtvolumen (und Auge) wird nach dem Koordinatensystem ausgerichtet

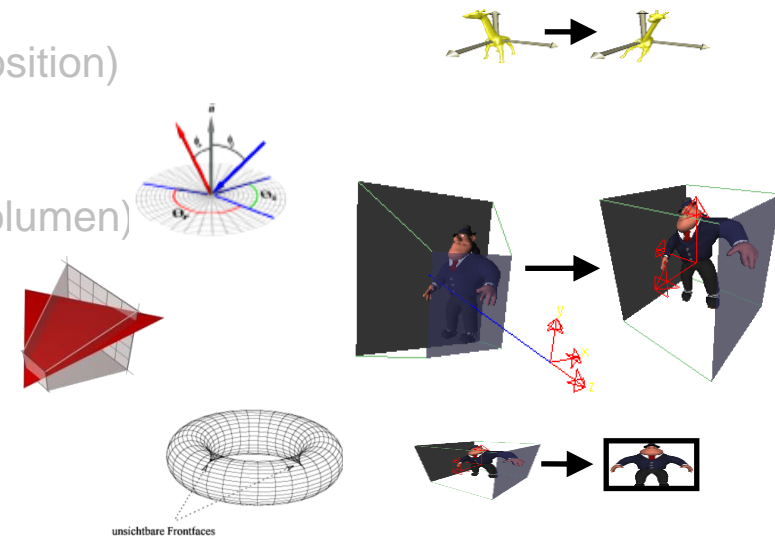
- Parallelprojektion (Kamera im Unendlichen):  
Sichtvolumen = Einheitswürfel
- Perspektive: Sichtvolumen = Pyramide
- Ziel: Einheitliches Sichtvolumen für die nachfolgenden Algorithmen



# Grafikpipeline: Geometrieverarbeitung



- Modell Transformation (kanonische Orientierung + Position)
- **Simulation der Beleuchtung (in den Knoten)**
- Perspektivische Transformation (kanonisches Sichtvolumen)
- Clipping (Abschneiden)
- Culling (Verdeckungsrechnung im Objektraum)
- Projektion

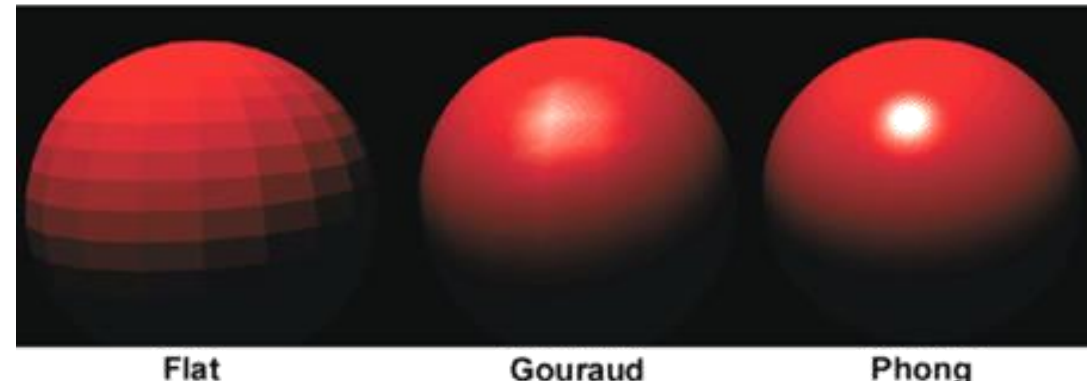


# Beleuchtung eines Primitivs



Zunächst: Bestimmung der Leuchtdichten des Primitivs

Die Bestimmung der Leuchtdichten pro Pixel findet in der Praxis erst während der Rasterisierung statt



## ***Flat Shading***

- Normale des Primitivs ergibt einheitliche Helligkeit

## ***Gouraud Shading***

- Normale in den Eckpunkten ergibt Helligkeitswerte für die Eckpunkte
- Helligkeitswerte der Eckpunkte werden linear interpoliert

## ***Phong Shading***

- Eckpunkt-Normalen werden für jeden Punkt linear interpoliert und normiert
- Helligkeitswert ergibt sich aus interpolierter Normale

# Phong-Beleuchtungsmodell



**Physik:** Welcher Anteil des Lichts, das an der Position  $L$  emittiert und am Objekt reflektiert wurde, erreicht den Beobachter an der Position  $V$  ?

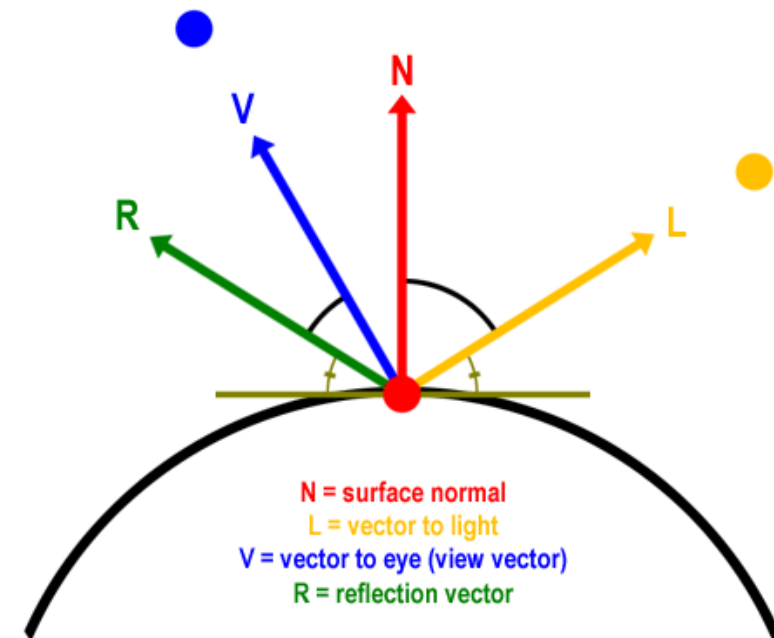
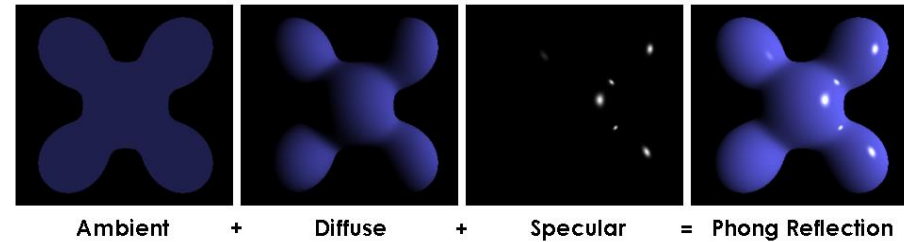
- Lichtquellen sind punktförmig
- Die Geometrie der Oberflächen, außer den Oberflächennormalen, wird ignoriert

$$I_{total} = I_{amb} + I_{diff} + I_{spec}$$

**Diffuse**  $I_{diff}$  und

**Spiegelnde Reflexion**  $I_{spec}$  werden nur lokal modelliert

**Ambiente Reflexion**  $I_{amb}$  wird global modelliert



# Phong-Beleuchtungsmodell



**Ambiente Komponente:** Umgebungslicht  $C$ , mat. Konst.  $k$ ; richtungsunabhängig

$$I_{amb} = k_{amb} C_{amb}$$

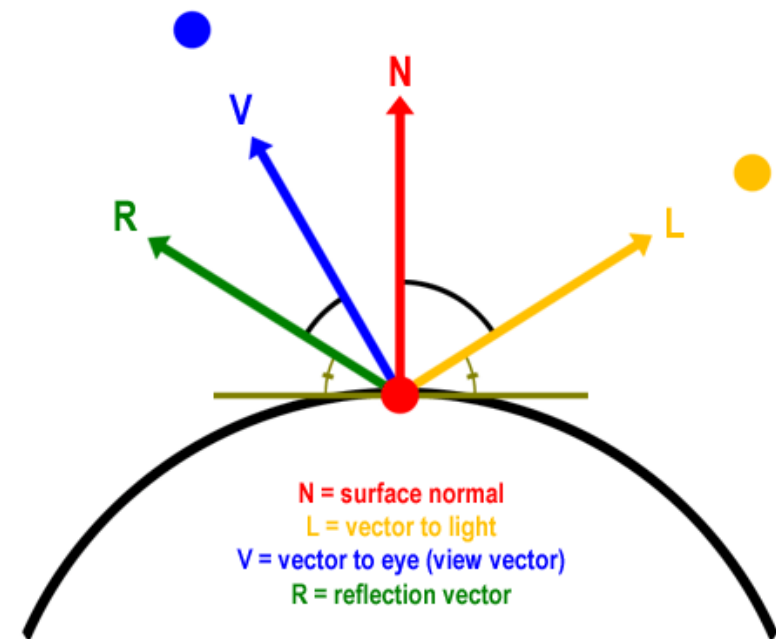
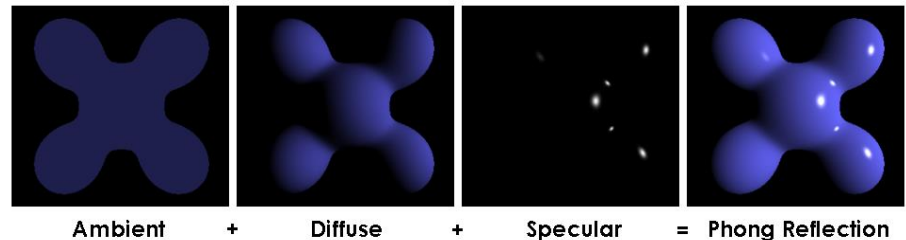
**Diffuse Reflektion:** abhängig von der Richtung des Lichts und Oberflächennormalen

$$I_{diff} = k_{diff} C_{light} (\underline{N} \cdot \underline{L})$$

**Spiegelnde Reflektion:** abhängig von der Richtung der Reflektion und des Betrachters ( $m$  = „Rauhigkeit“)

$$I_{spec} = k_{spec} C_{light} (\underline{R} \cdot \underline{V})^m$$

$$I_{total} = I_{amb} + I_{diff} + I_{spec}$$

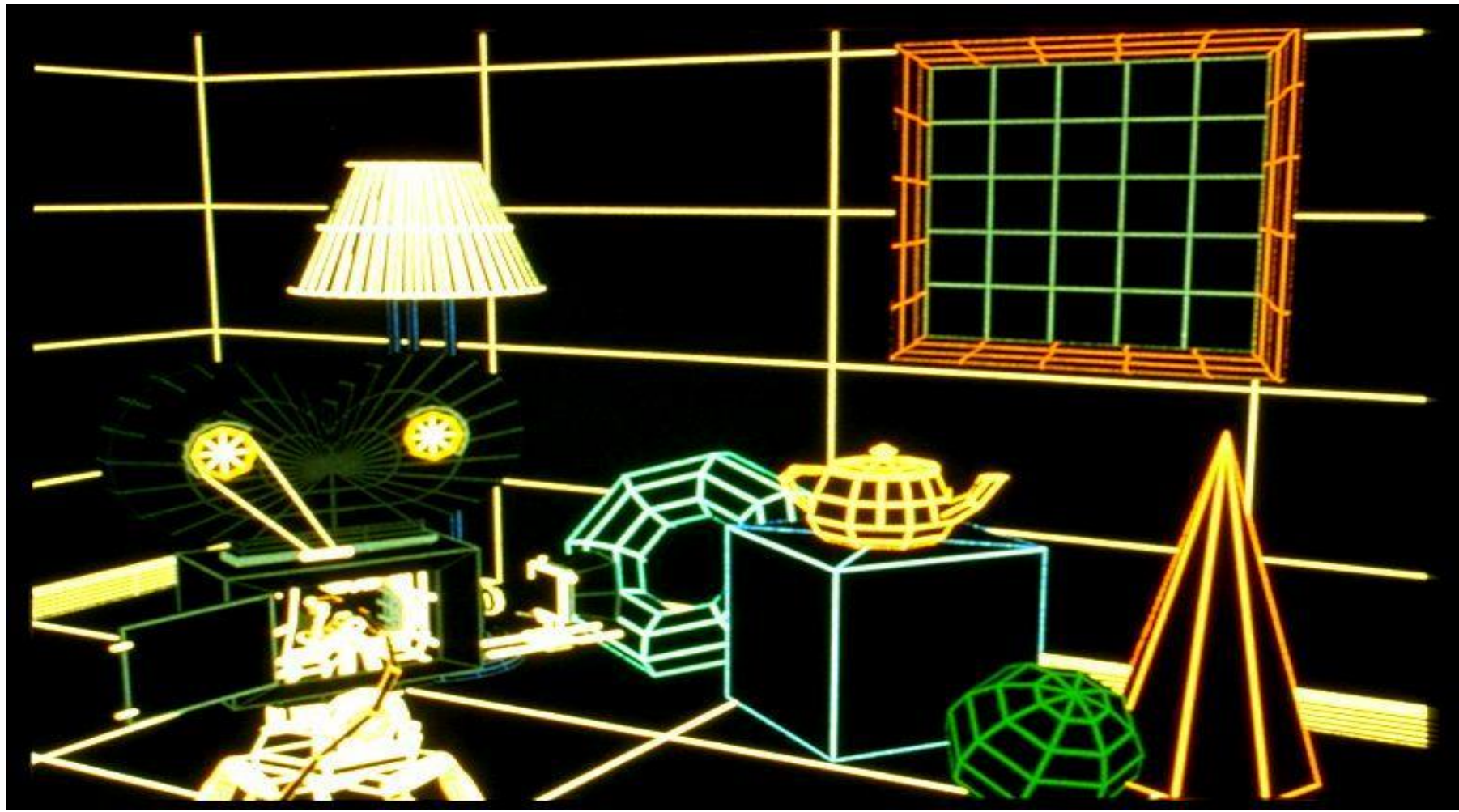


# Schattierung von Primitiven

## Wireframe



TECHNISCHE  
UNIVERSITÄT  
DARMSTADT

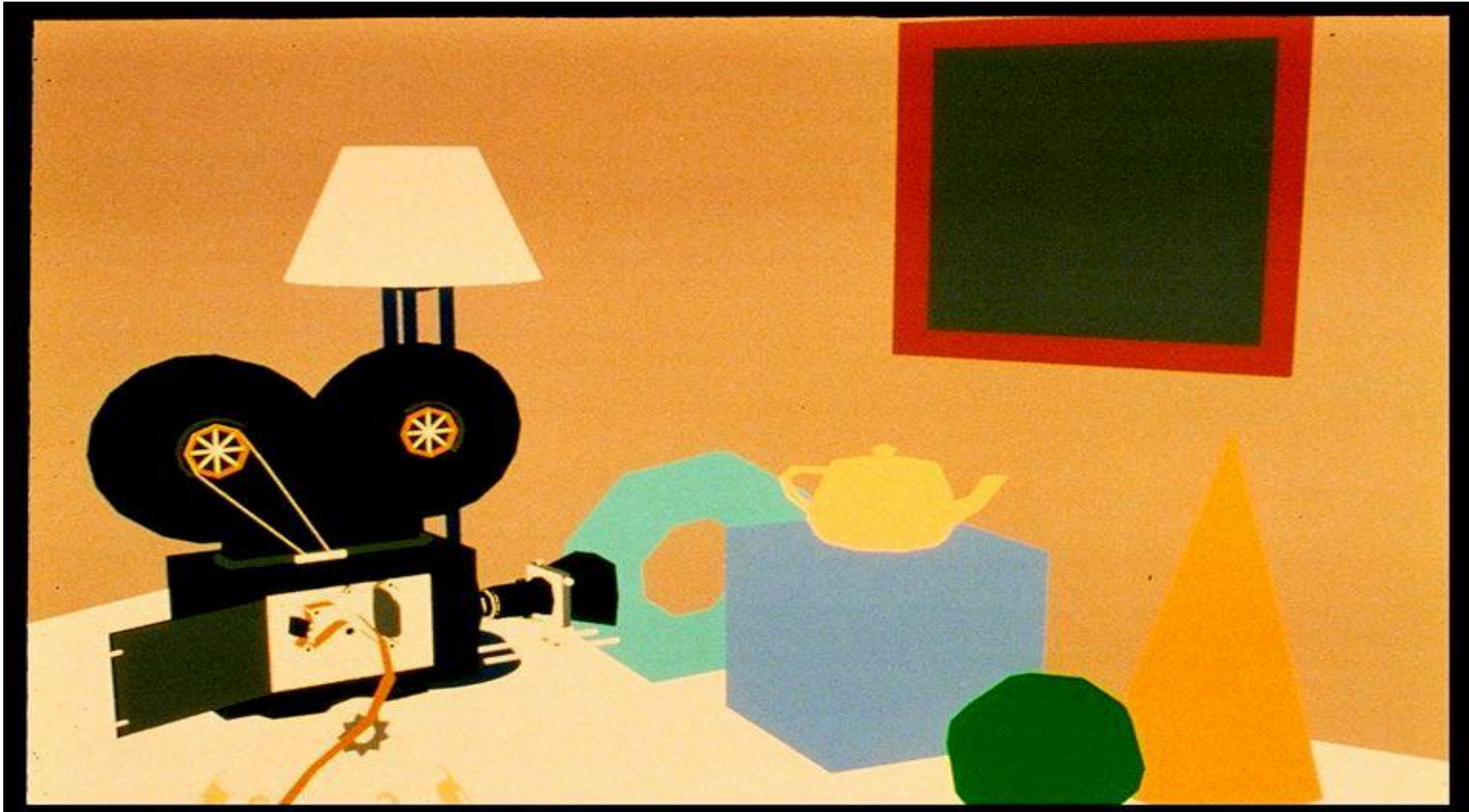


# Schattierung von Primitiven

## Constant Shading



TECHNISCHE  
UNIVERSITÄT  
DARMSTADT

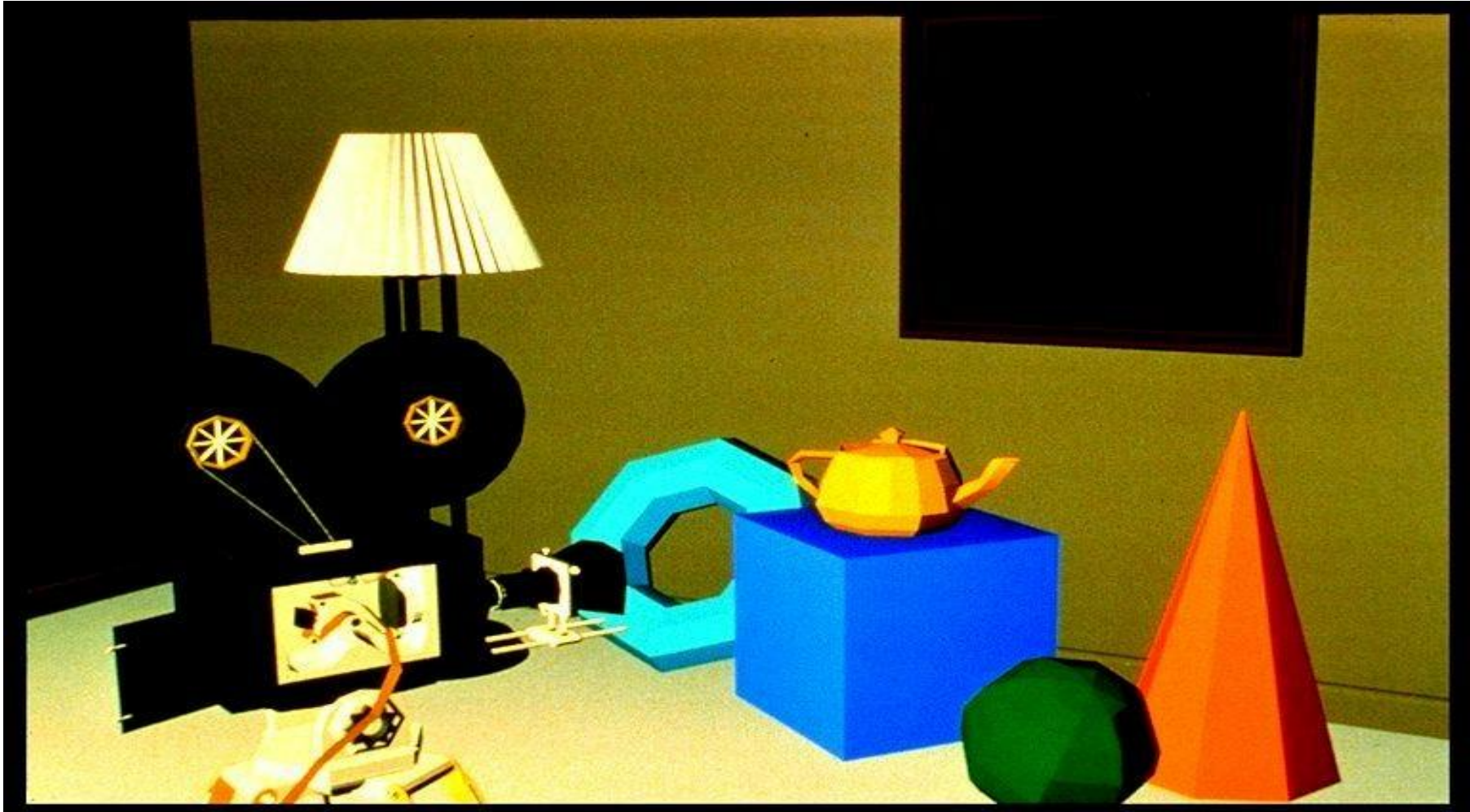


# Schattierung von Primitiven

## Flat Shading



TECHNISCHE  
UNIVERSITÄT  
DARMSTADT

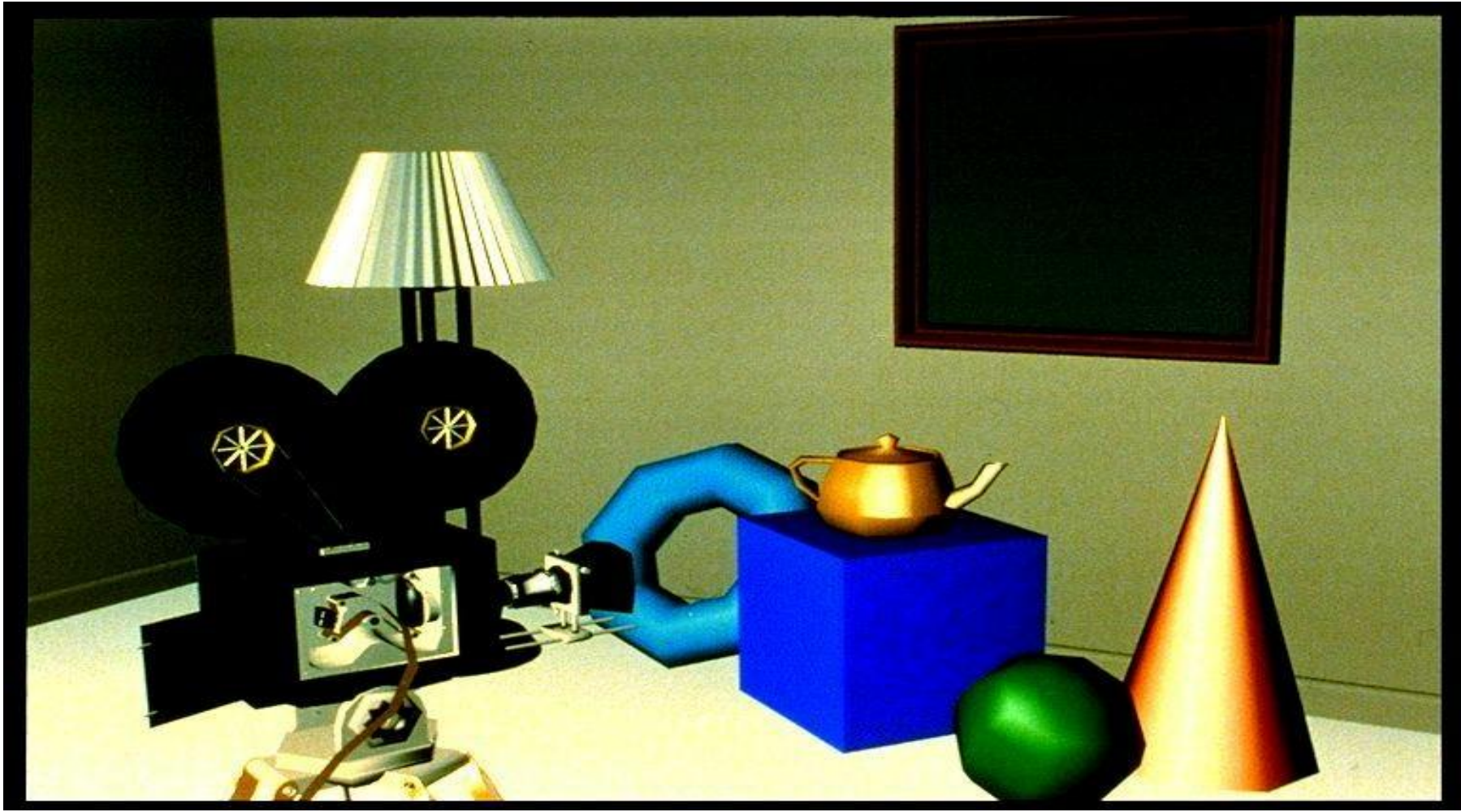


# Schattierung von Primitiven

## Gouraud Shading



TECHNISCHE  
UNIVERSITÄT  
DARMSTADT

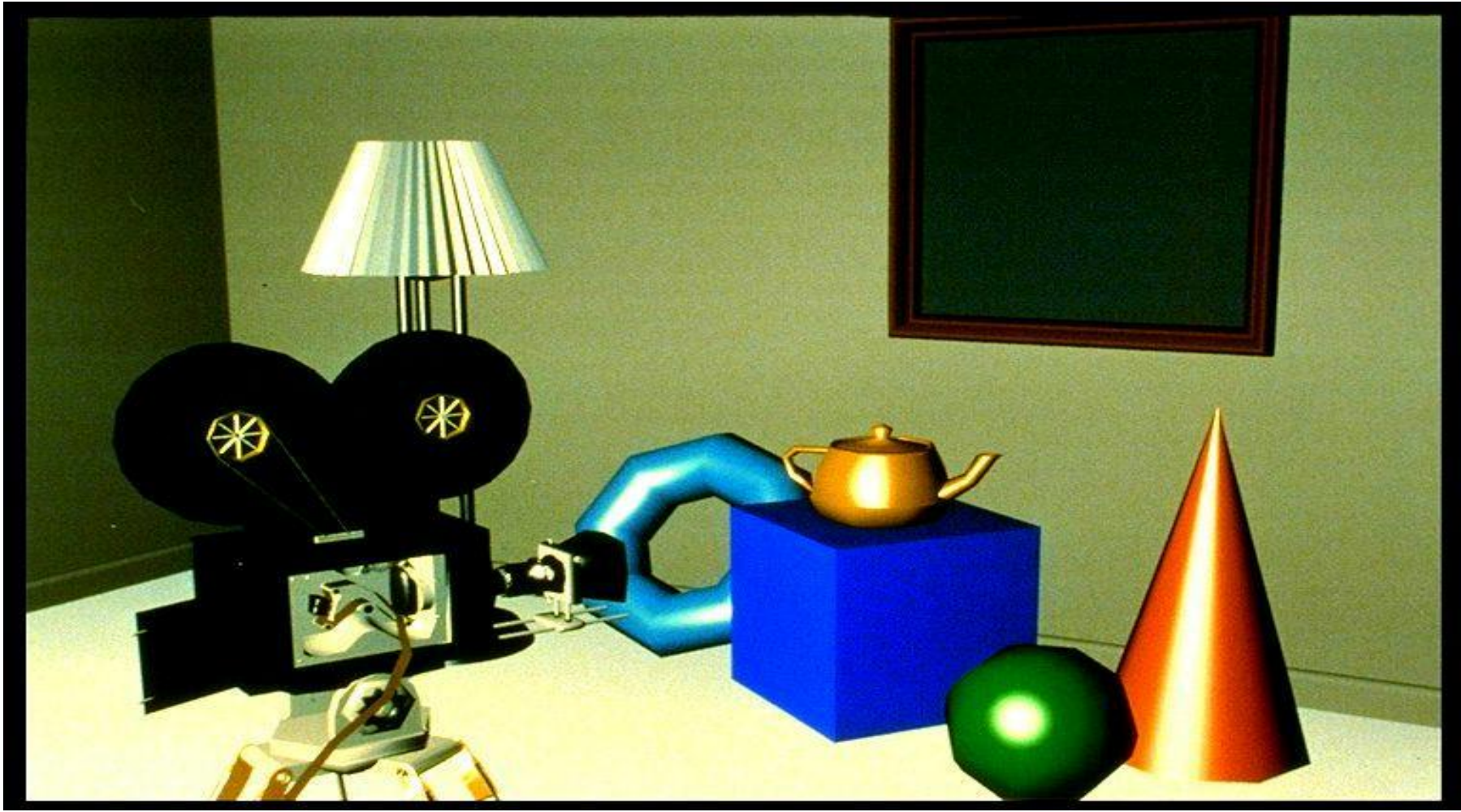


# Schattierung von Primitiven

## Phong Shading



TECHNISCHE  
UNIVERSITÄT  
DARMSTADT

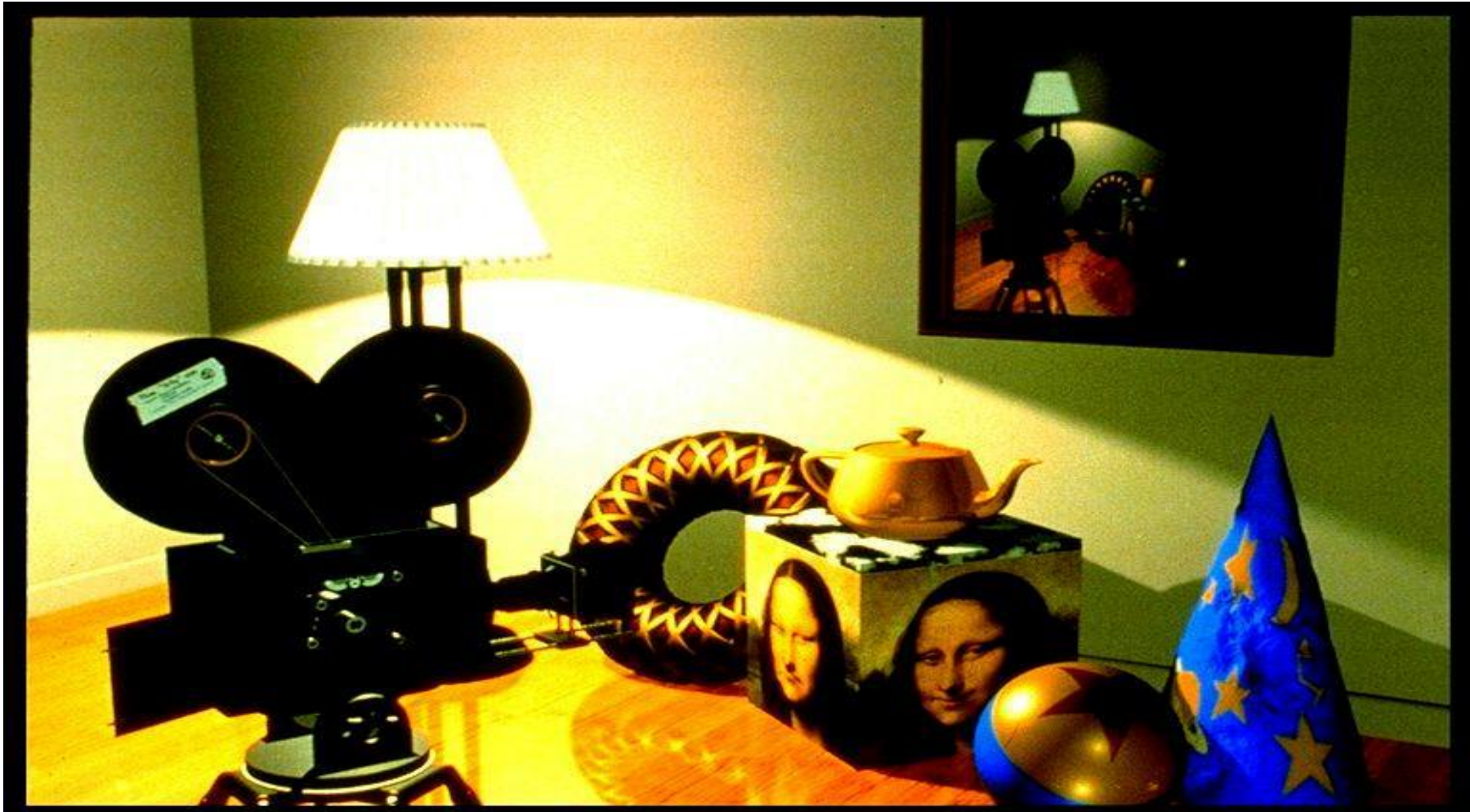


# Beleuchtung eines Primitivs

## Subdivision, Texture/Bump/Reflection Mapping



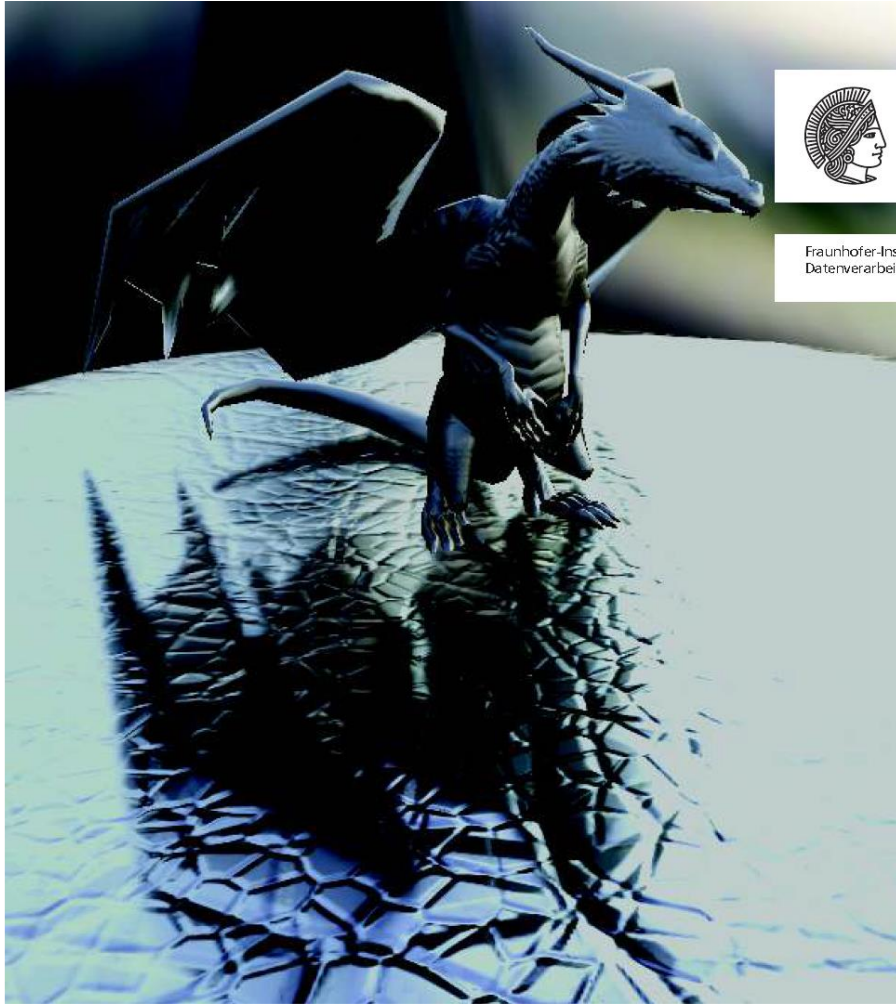
TECHNISCHE  
UNIVERSITÄT  
DARMSTADT



# MSc Thesis: Efficient Self-Shadowing using Image Based Lighting on Glossy Surfaces



TECHNISCHE  
UNIVERSITÄT  
DARMSTADT



(a) Spiegelnd

(b) Hoch glänzend

(c) Leicht glänzend

(d) Matt

Abbildung 6.3: Verschiedene Reflektionsgrade von komplett spiegelnd bis diffus. (a) bis (d) zeigen die dynamische Anpassung der Reflexivität in Echtzeit. Dabei verändert sich sowohl die Farbgebung der Objekte als auch die Charakteristika des Schattenwurfs.

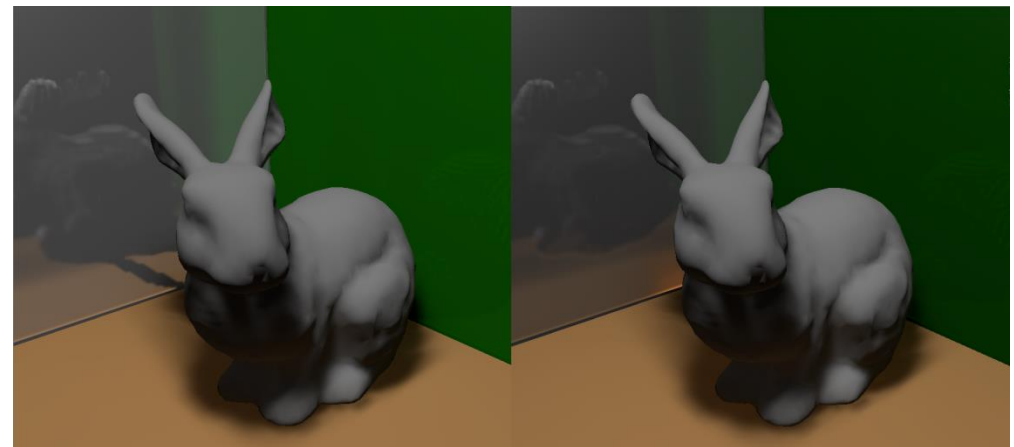
# Msc Thesis: Delta Global Illumination für Mixed Reality



TECHNISCHE  
UNIVERSITÄT  
DARMSTADT



The effect of lighting in Mixed Reality.  
In this image a virtual object is just pasted  
above the background image.  
No realistic perception can be achieved.

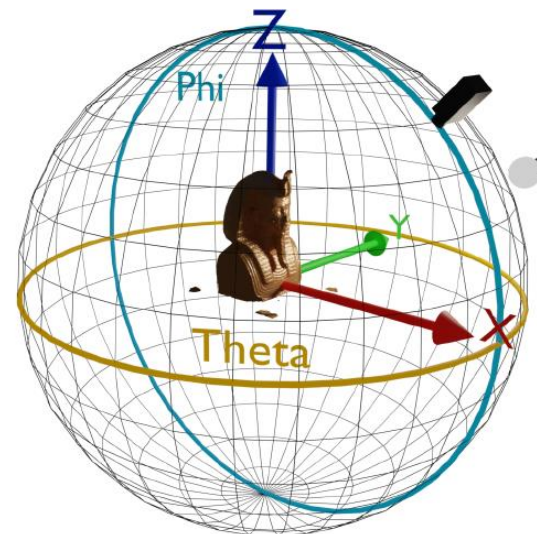


Left: The reference image.  
The background scene and the bunny were  
merged before the lighting took place.  
Right: The Relighting result.  
The Bunny is added to an already lit scene  
and is relit with Differential Rendering.

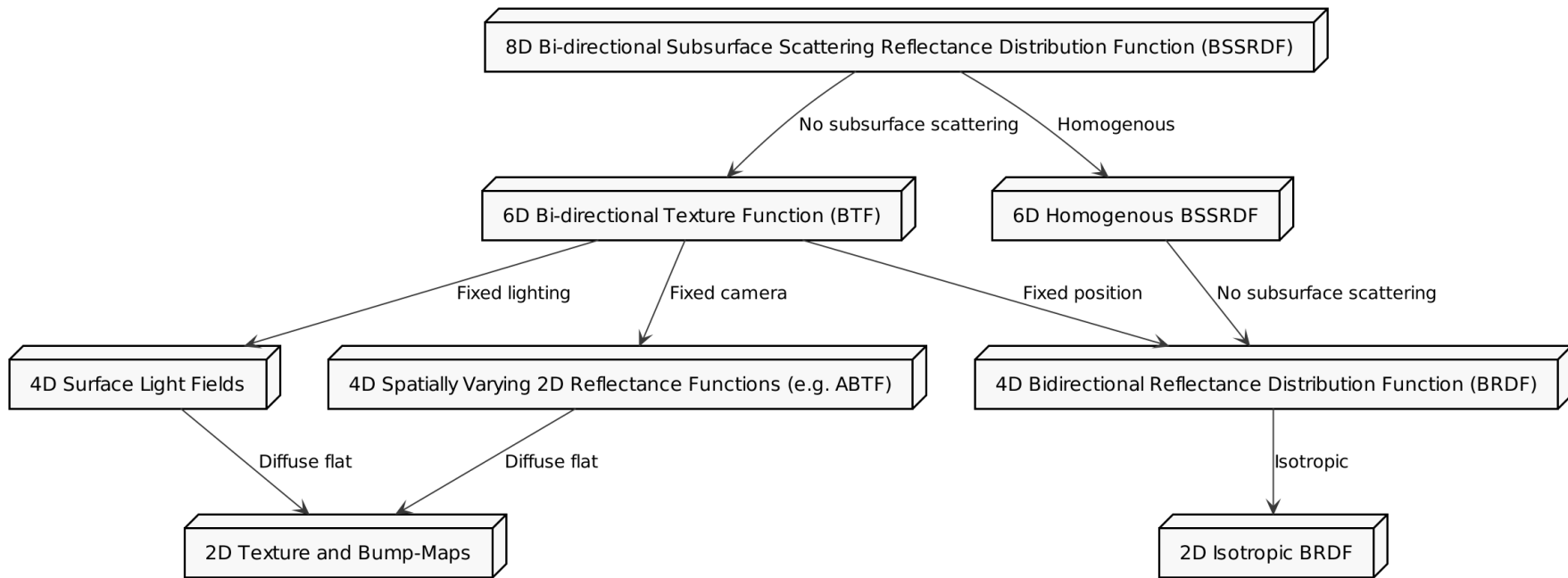




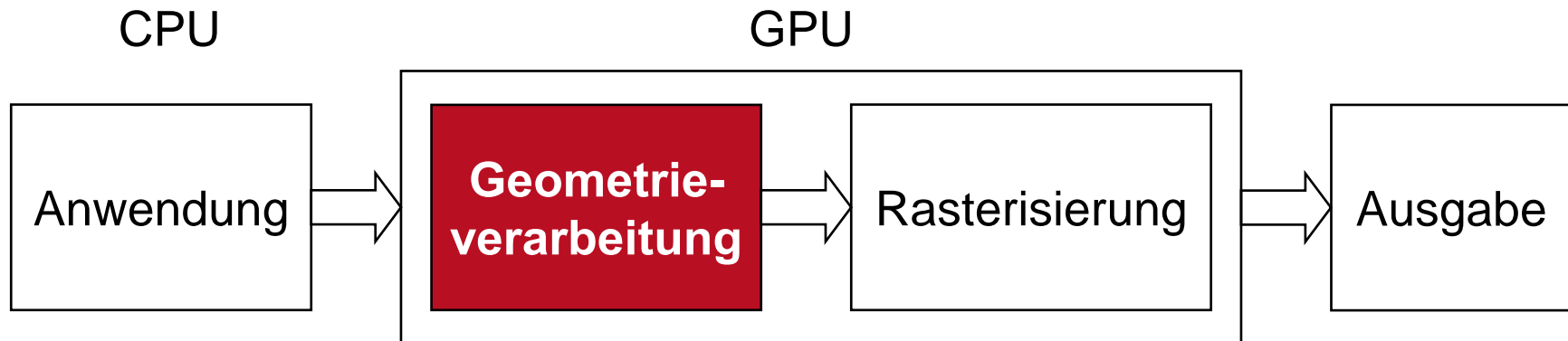
## Phänomenologische Erfassung und Rendering des Optischen Materialverhaltens ganzheitlicher 3D-Objekte



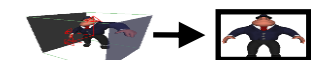
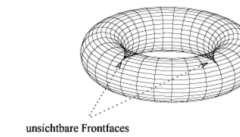
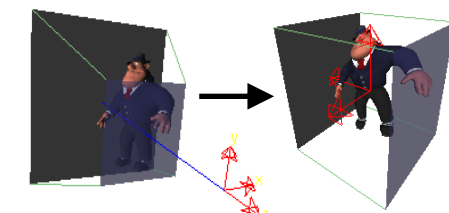
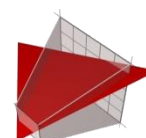
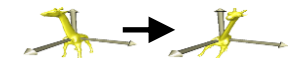
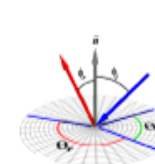
# Reflectance



# Grafikpipeline: Geometrieverarbeitung

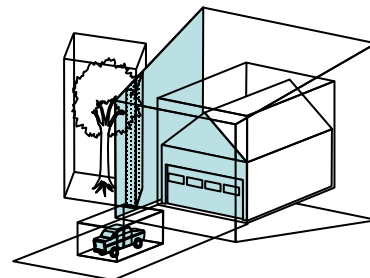


- Modell Transformation (kanonische Orientierung + Position)
- Simulation der Beleuchtung (in den Knoten)
- **Perspektivische Transformation (kanonisches Sichtvolumen)**
- **Clipping (Abschneiden)**
- Culling (Verdeckungsrechnung im Objektraum)
- Projektion

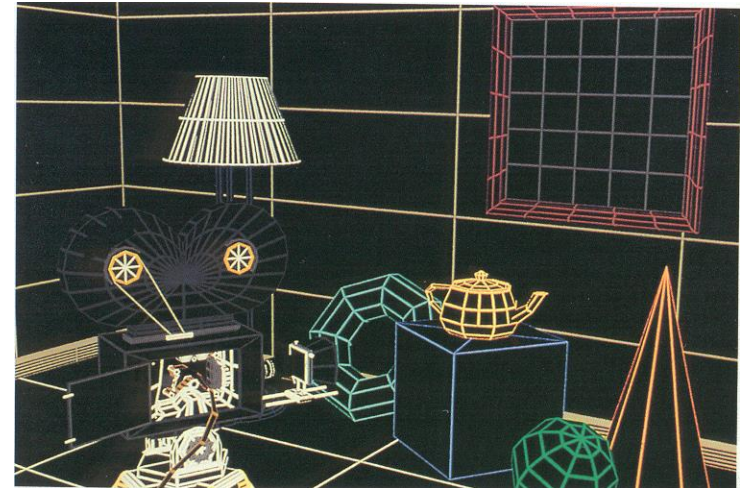
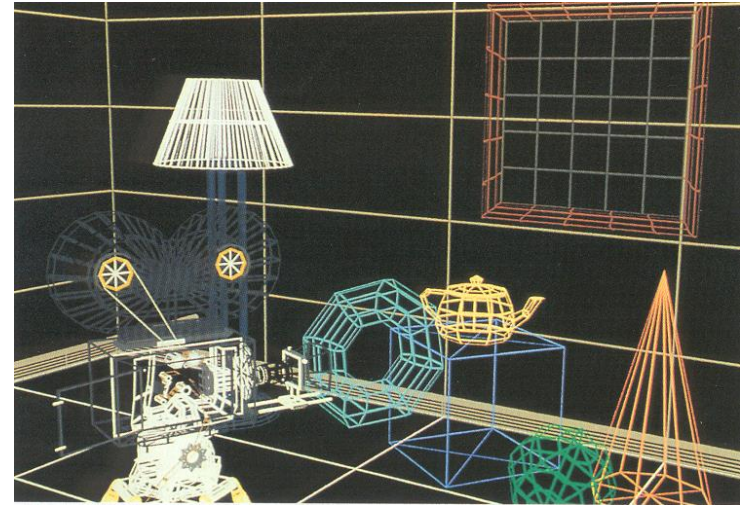




## Verdeckung



- Sichtbar ist der dem Auge am nächsten liegende Punkt
- Ist das Objekt durchsichtig (transparent), wird der dahinterliegende Punkt auch sichtbar, usw.
- Clipping: Abschneiden von Objekten am Rand eines gewünschten Bildschirmausschnittes



# Painters Algorithmus



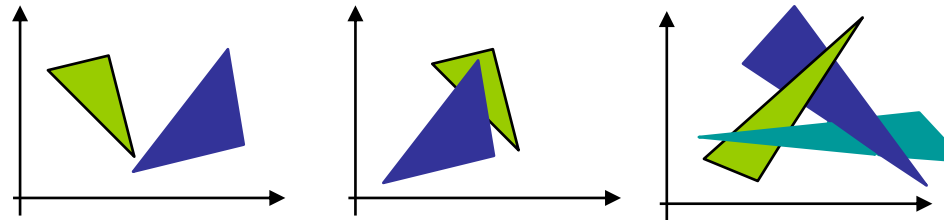
Zeichne Polygone wie ein Maler

- Tiefe: z-Wert,  $z \in [z_{\min}, z_{\max}]$
- Das am weitesten entfernte zuerst ( $z_{\max}$ )



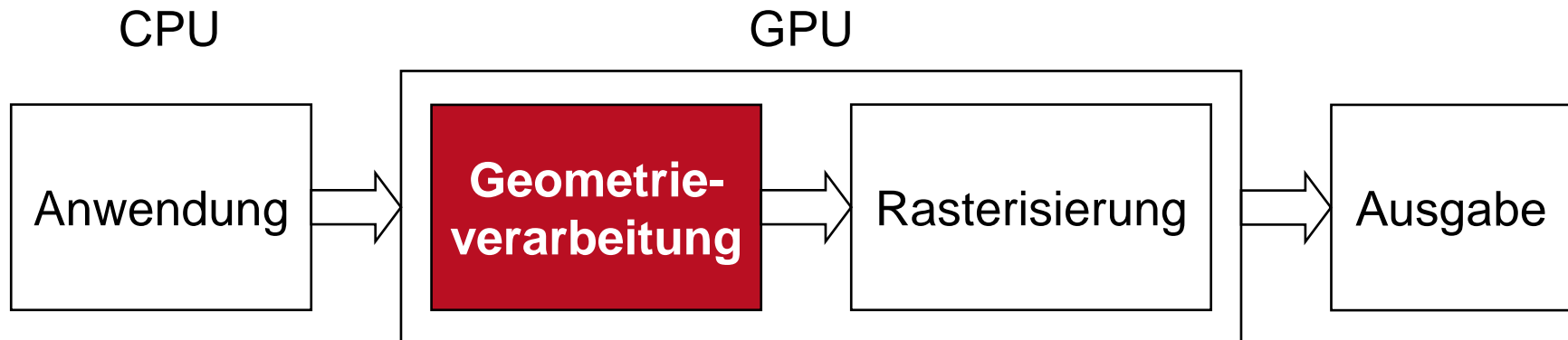
Algorithmus:

- Sortiere Polygone nach z-Wert
- Falls z-Intervalle überlappen müssen Schnittpolygone berechnet werden
- Beginne das Zeichnen mit dem Polygon mit größtem z-Wert

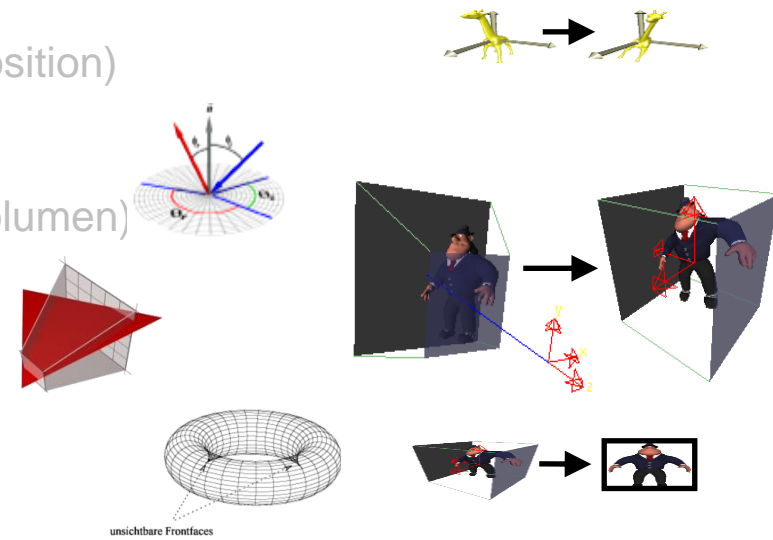


Komplexität ist  $O(n^2)$  ( $n =$ Anzahl Dreiecke)

# Grafikpipeline: Geometrieverarbeitung



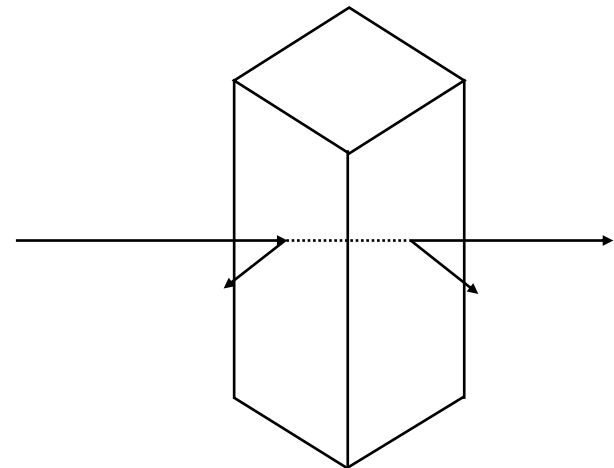
- Modell Transformation (kanonische Orientierung + Position)
- Simulation der Beleuchtung (in den Knoten)
- Perspektivische Transformation (kanonisches Sichtvolumen)
- Clipping (Abschneiden)
- **Culling (Verdeckungsrechnung im Objektraum)**
- Projektion



# Culling



- Rückseiten machen etwa die Hälfte der in der Szene vorkommenden Flächen aus
- Sie werden von der weiteren Betrachtung ausgeschlossen
- Bei konvexen Körpern sind alle verdeckten Flächen Rückseiten
  - Bestimmung der Rückseiten beseitigt genau alle unsichtbaren Bildteile für einen konvexen Körper

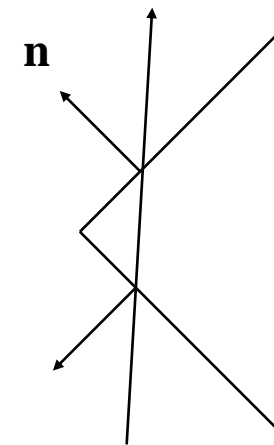
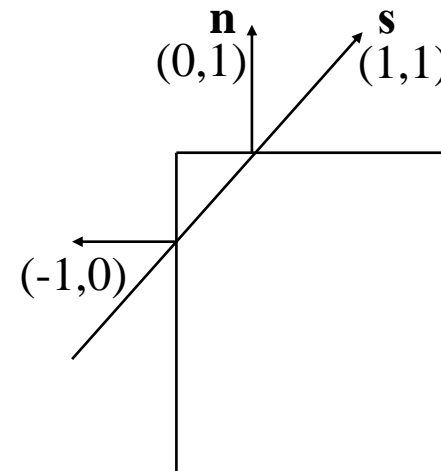
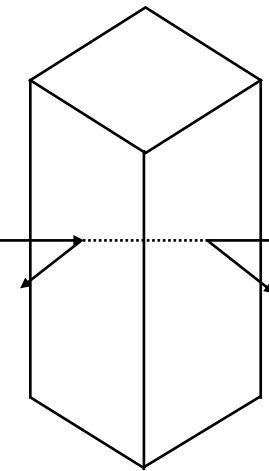


# Culling



Erkennen von Rückseiten:

- Das Skalarprodukt aus Sehstrahl und Normale ist positiv ( $\mathbf{n} \cdot \mathbf{s} > 0$ )



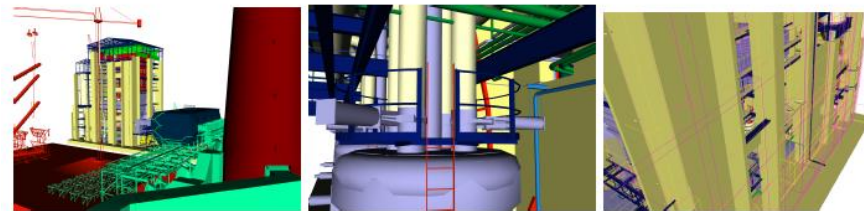
# Beispiel



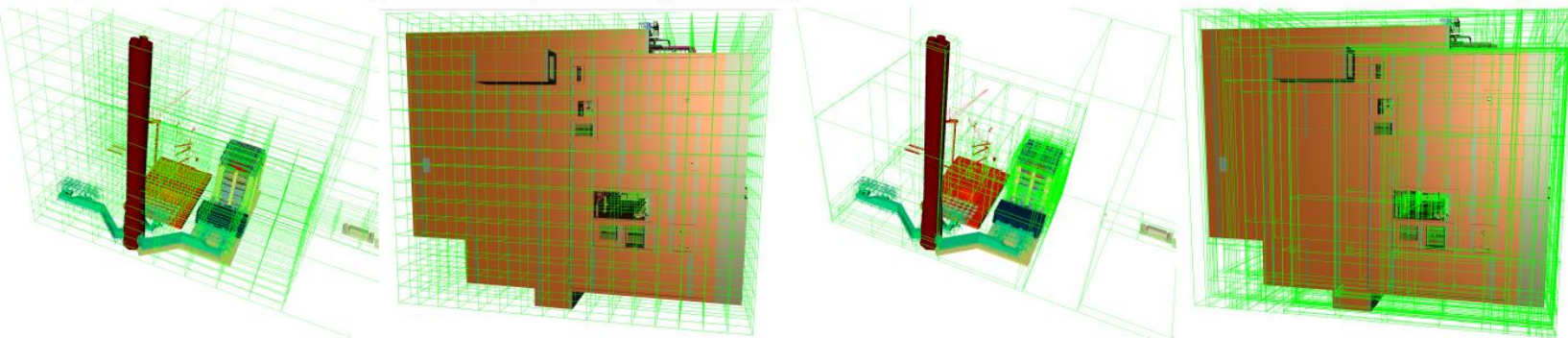
TECHNISCHE  
UNIVERSITÄT  
DARMSTADT

## Spatial Data Structures for Accelerated Visibility Determination on the Web (Web3D 2014 / Ma-Thesis) → Sehe VL X3DOM

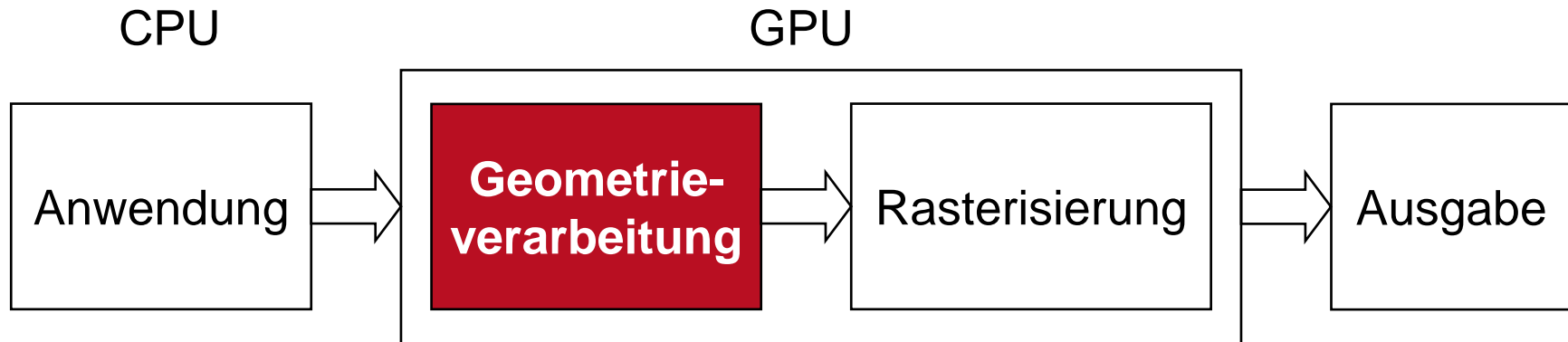
**Figure 9:** Different points of view during a walkthrough: outside (left) and inside (middle). Bounding volumes reaching out to far, thus interfering with occlusion culling.(right)



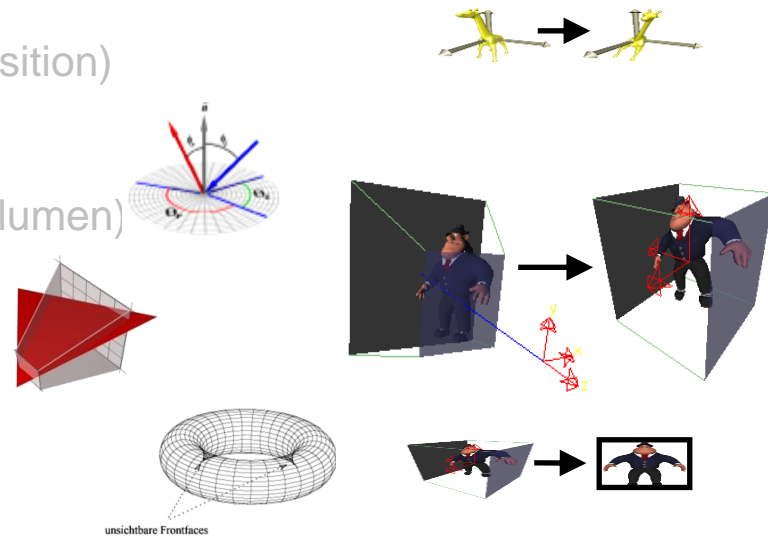
**Figure 1:** Visualization of octree (left) and bounding interval hierarchy (right) for two powerplant models of  $\sim 13/\sim 57$  millions of triangles. Both structures are computed directly inside the browser. By accelerating the visibility determination, the data structures are the key to an interactive experience when rendering CAD data of such magnitude. Efficient hierarchies can be constructed in  $\sim 20\text{-}30$  ms already.



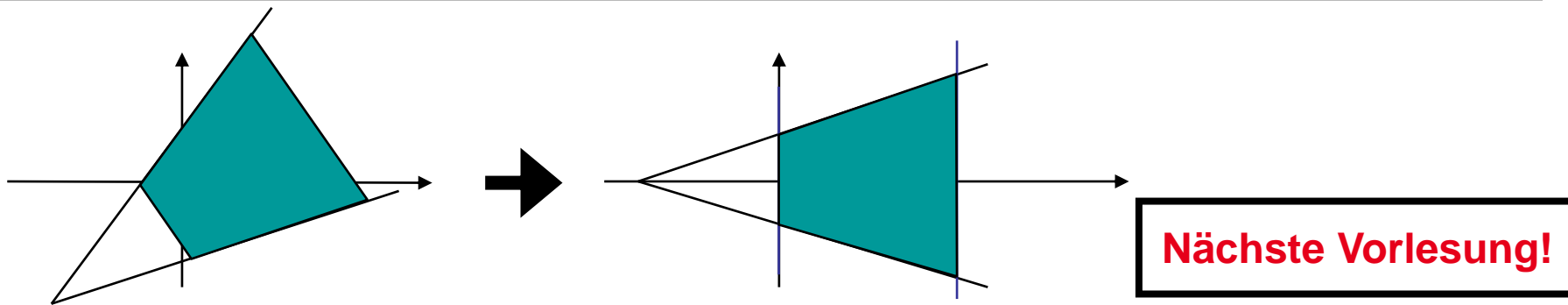
# Grafikpipeline: Geometrieverarbeitung



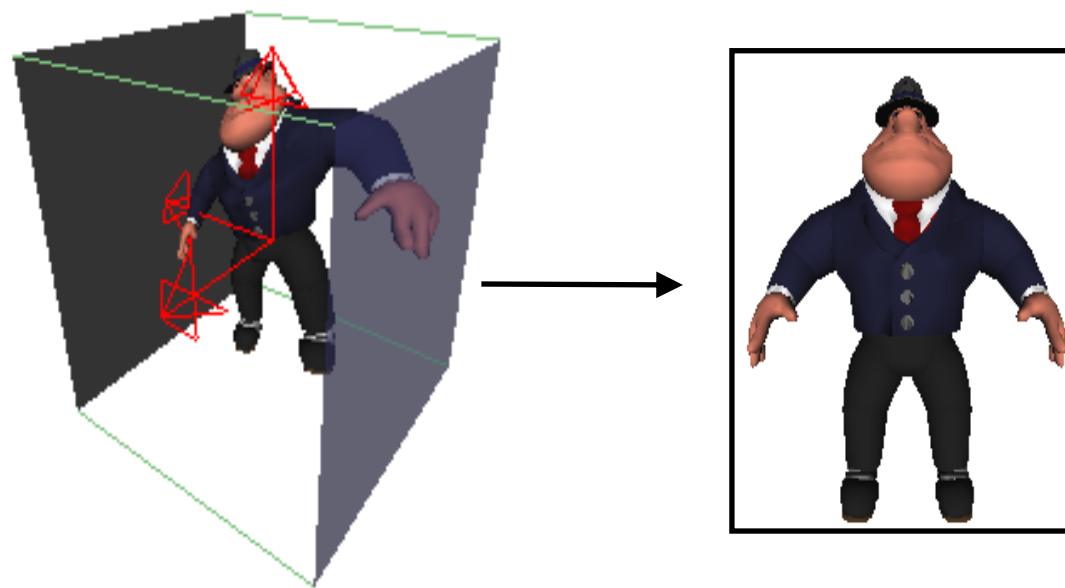
- Modell Transformation (kanonische Orientierung + Position)
- Simulation der Beleuchtung (in den Knoten)
- Perspektivische Transformation (kanonisches Sichtvolumen)
- Clipping (Abschneiden)
- Culling (Verdeckungsrechnung im Objektraum)
- **Projektion**

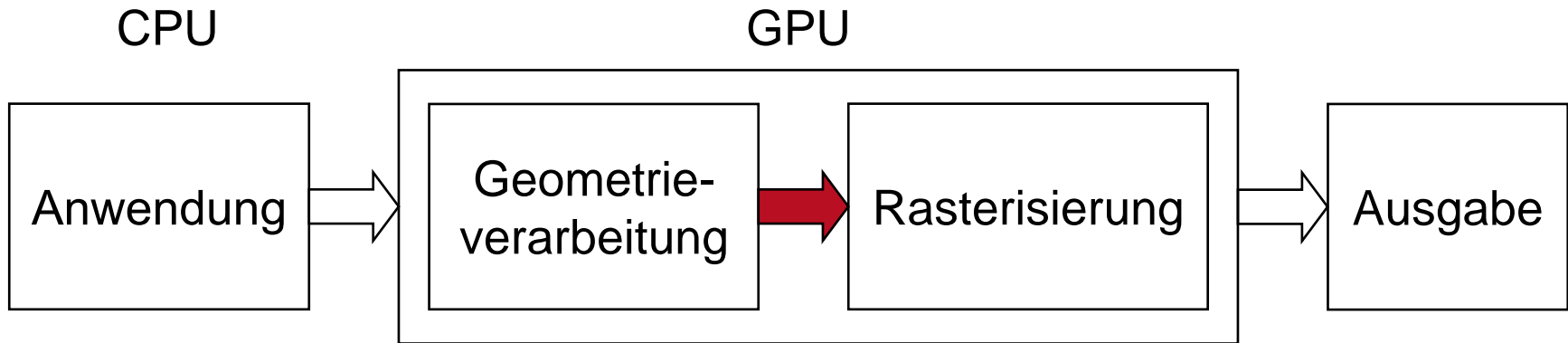


# Projektion

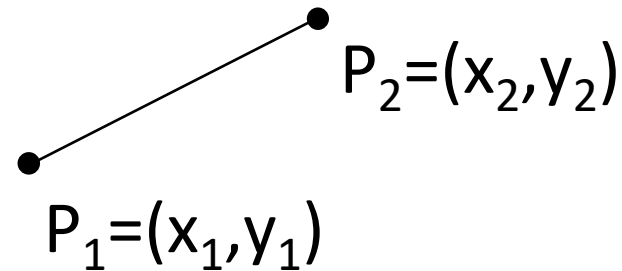


Nächste Vorlesung!

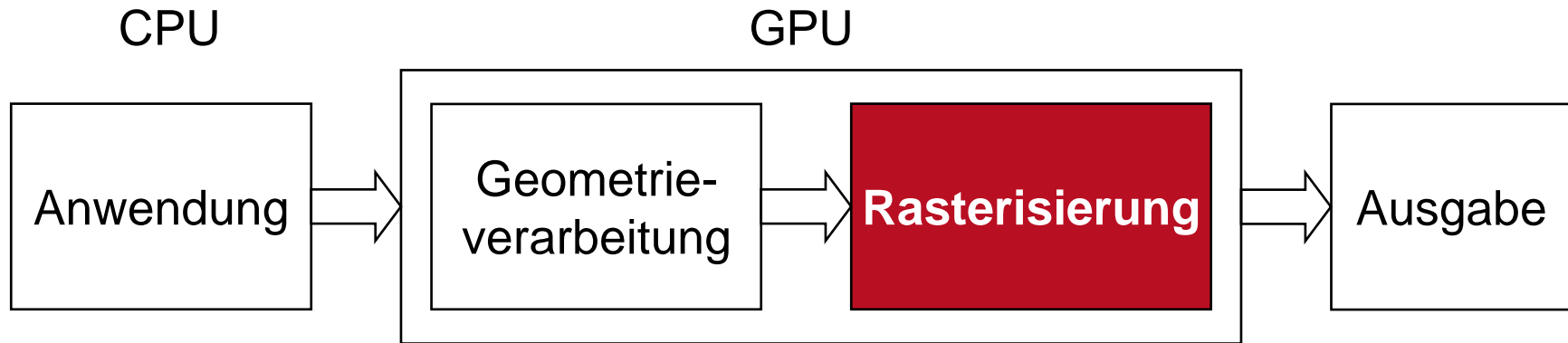




- 2D-Koordinaten und zusätzliche Daten:
  - z-Buffer Werte
  - Farbwerte pro Knoten / Primitiv



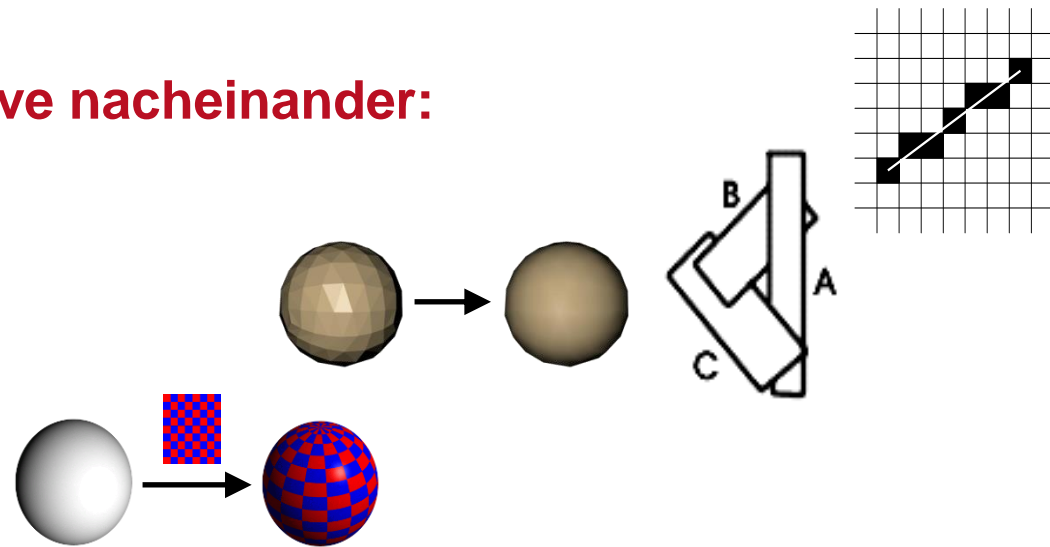
# Grafikpipeline: Rasterisierung



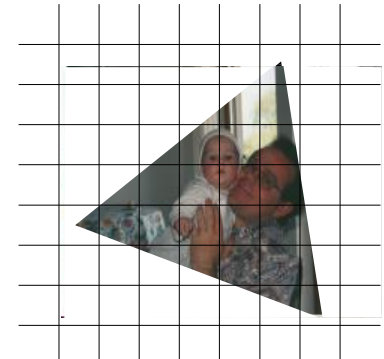
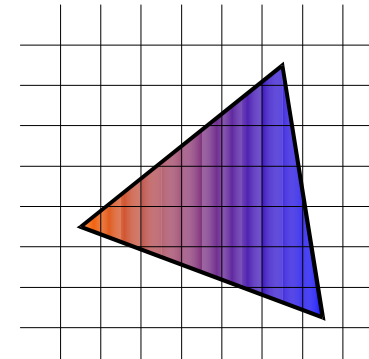
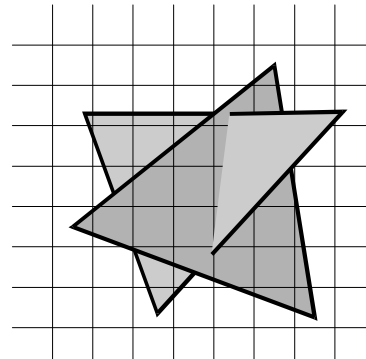
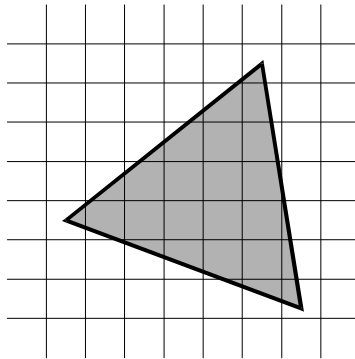
## ▪ Rasterisierung der Primitive nacheinander:

### ▪ Scan-Konvertierung

- Verdeckungsrechnung
- (Farbwertinterpolation)



**Rasterisierung: Primitive (Linien, Polygone) werden in Pixel zerlegt**



Zusätzlich Operationen pro Pixel:

- Verdeckungsrechnung
- Shading



# Rasterisierung von Linien

## Algorithmus von Bresenham



TECHNISCHE  
UNIVERSITÄT  
DARMSTADT

Der erste Integer-Algorithmus zum Zeichnen von Linien

- Bresenham (1965).

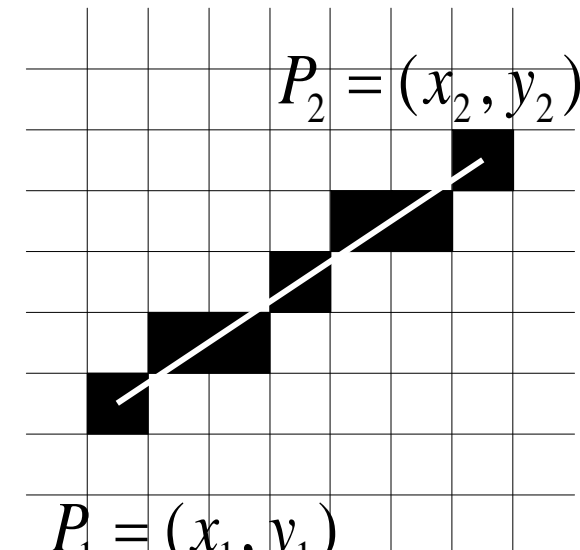
Herleitung:

- Anfangs- und Endpunkt auf dem Raster
- Steigung zwischen 0 und 1

$$\Delta x = x_2 - x_1 \geq 0,$$

$$\Delta y = y_2 - y_1 \geq 0,$$

$$\Delta x \geq \Delta y.$$



# Rasterisierung von Linien

## Algorithmus von Bresenham



TECHNISCHE  
UNIVERSITÄT  
DARMSTADT

REM Bresenham-Algorithmus für eine Linie im ersten Oktanten

$dx = x_{end} - x_{start}$

$dy = y_{end} - y_{start}$

REM im ersten Oktanten muss  $0 < dy \leq dx$  sein, sonst vertauschen

REM Initialisierungen

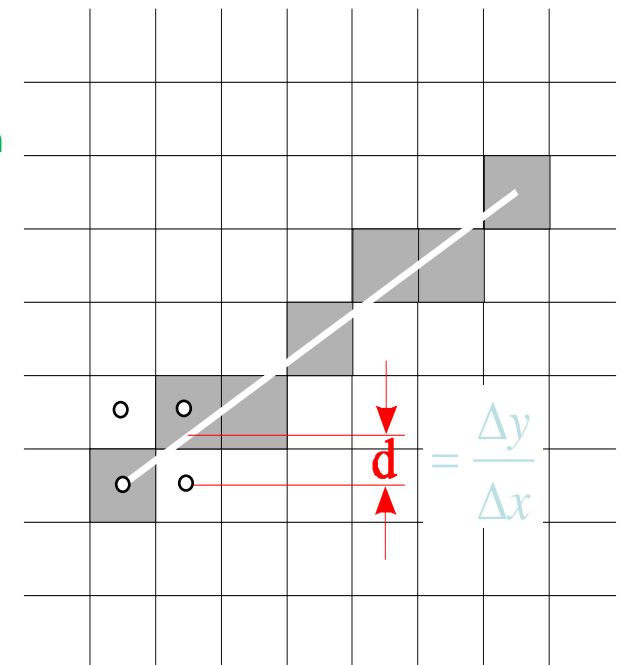
- $x = x_{start}$
- $y = y_{start}$
- **SETPIXEL**  $x, y$
- $fehler = dx/2$

REM Pixelschleife: immer ein Schritt in schnelle Richtung, wenn nötig in die langsame

**WHILE**  $x < x_{end}$

- REM Schritt in schnelle Richtung
- $x = x + 1$
- $fehler = fehler - dy$
- **IF**  $fehler < 0$  **THEN**
  - REM Schritt in langsame Richtung
  - $y = y + 1$
  - $fehler = fehler + dx$
  - **END IF**
- **SETPIXEL**  $x, y$

**WEND**

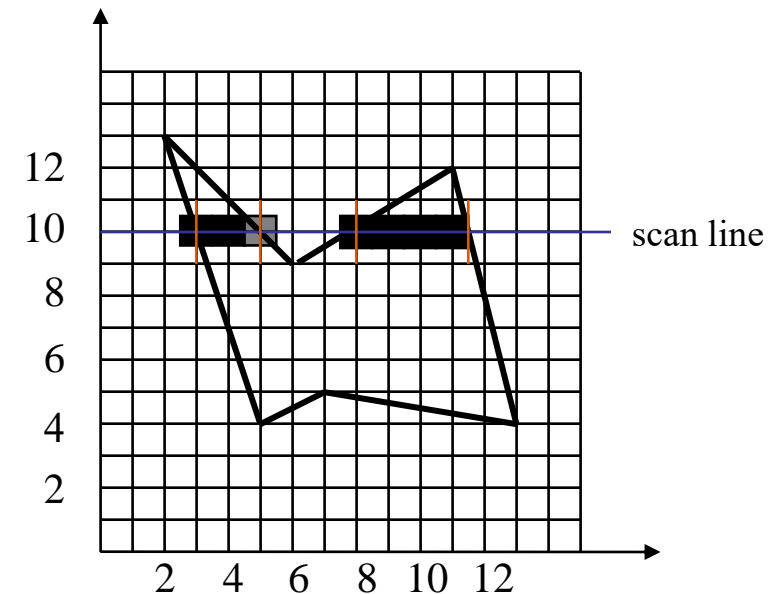


# Rasterisieren von Polygonen

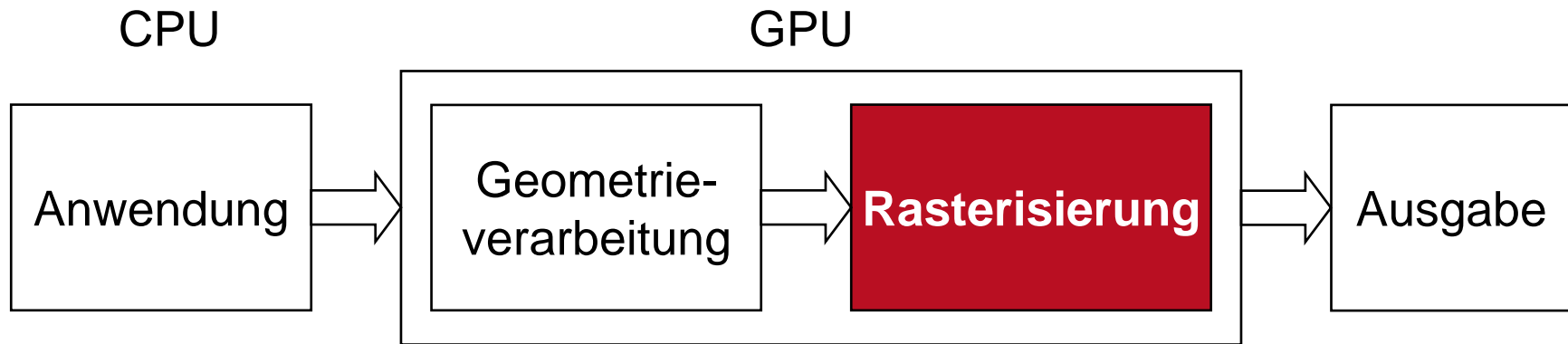


Idee: (Scanline Algorithmus)

- Finde Schnittpunkt der scan line mit allen Kanten des Polygons
- Sortiere Schnittpunkte nach wachsender x-Koordinate
- Fülle Pixel zwischen Paaren aufeinanderfolgender Schnittpunkte
  - Regel von der ungeraden Parität
  - Parität ist am Anfang 0
  - mit jedem Schnittpunkt um eins inkrementiert
  - Pixel wird gesetzt falls Parität ungerade

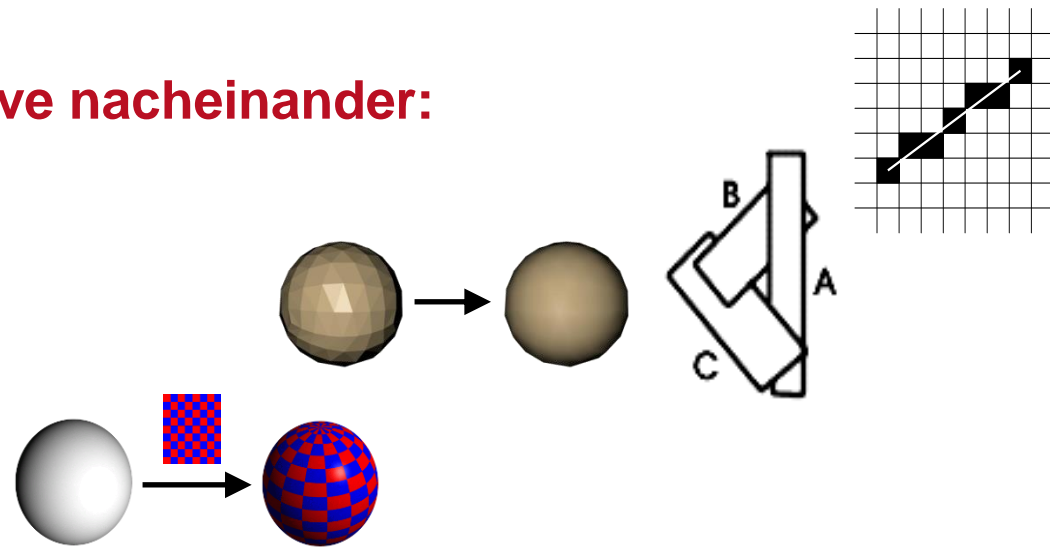


# Grafikpipeline: Rasterisierung



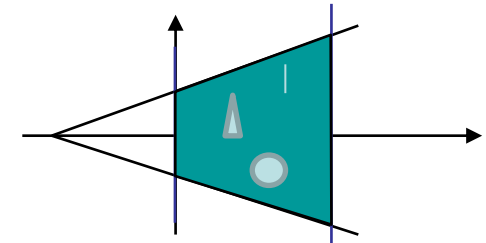
## ▪ Rasterisierung der Primitive nacheinander:

- Scan-Konvertierung
- **Verdeckungsrechnung**
- (Farbwertinterpolation)





- Der Tiefenspeicher wurde bereits 1974 vorgeschlagen, aber aus Kostengründen damals nicht realisiert
- Für jeden Bildpunkt wird auch ein z-Wert gespeichert
  - Tiefenbild
- Initialisierung
  - Der Bildspeicher → Hintergrundfarbe
  - z-Speicher → maximaler z-Wert
- Alle Objekte der Szene werden nacheinander gerastert
  - Eine besondere Reihenfolge ist nicht erforderlich



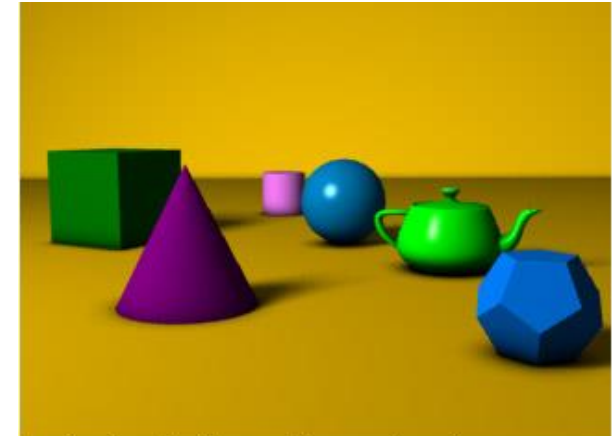
# z-Buffer-Algorithmus



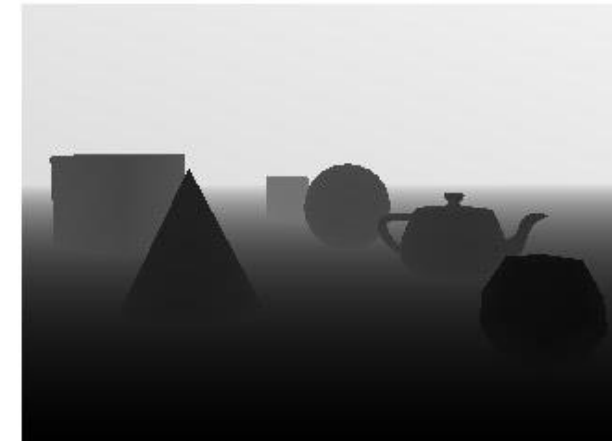
Für jeden Punkt  $(x,y)$  eines darzustellenden Polygons

1. Berechne  $z(x,y)$ 
  - Perspektivische Transformation erlaubt keine lineare Interpolation mehr!
2. Ist  $z(x,y)$  kleiner als der unter  $(x,y)$  bereits gespeicherte Wert
  - Schreibe  $z(x,y)$  in den z-Speicher und den zugehörigen Farbwert an der Stelle  $(x,y)$  in den Bildspeicher.

Nach der Behandlung aller Objekte steht im Bildspeicher das gewünschte Bild der sichtbaren (Teil-)flächen



A simple three dimensional scene



Z-buffer representation

# **z-Buffer-Algorithmus**

## **Vorteile**



TECHNISCHE  
UNIVERSITÄT  
DARMSTADT

- Jede Szene mit jeder Art von Objekten kann behandelt werden
- Komplexität ist unabhängig von der Tiefenkomplexität
- In eine fertige Szene können nachträglich Objekte eingefügt werden
  - Dies ist besonders für die Kombination mit Kameraaufnahmen interessant
- Spezielle Objekte, wie z.B. ein 3D-Cursor, können in der Szene mit korrekter Verdeckung dargestellt werden
- Leicht in Hardware zu realisieren.



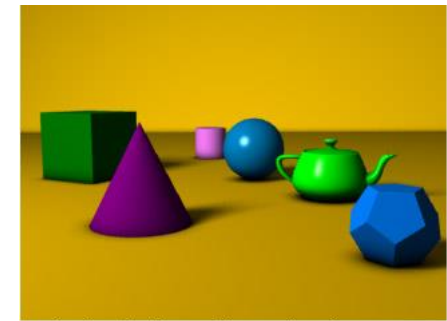
# **z-Buffer-Algorithmus**

## Nachteile



TECHNISCHE  
UNIVERSITÄT  
DARMSTADT

- Pro Bildpunkt wird nur ein Objekt gespeichert
  - Daraus resultieren Abtastfehler, die durch Supersampling [höhere Auflösung] verkleinert aber nicht beseitigt werden können
- Transparenz ist prinzipiell nicht realisierbar
- Die Genauigkeit des z-Buffers ist beschränkt
  - Getrennte Objekte erhalten denselben z-Wert
  - Die Farbe wird dann von der Objektreihenfolge bei der Rasterung bestimmt

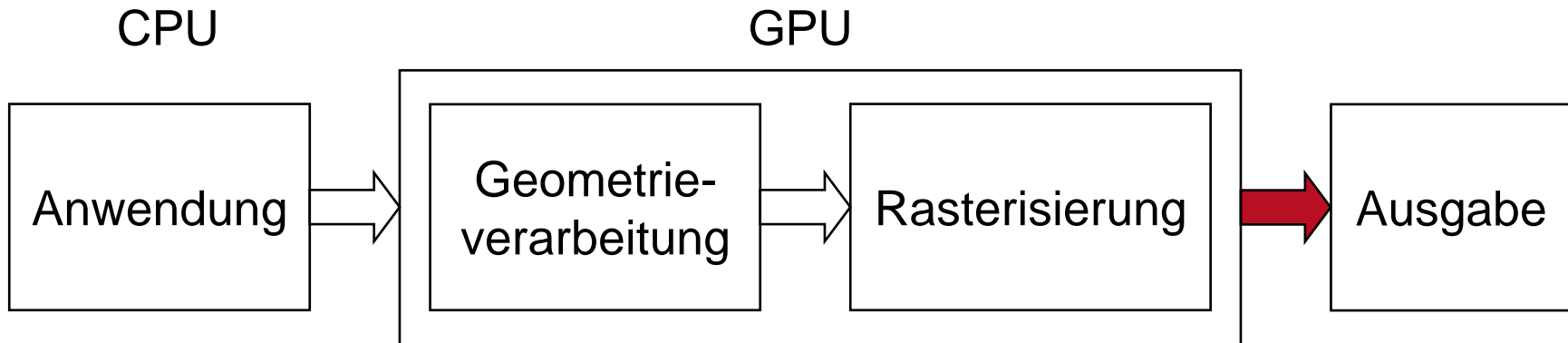


A simple three dimensional scene



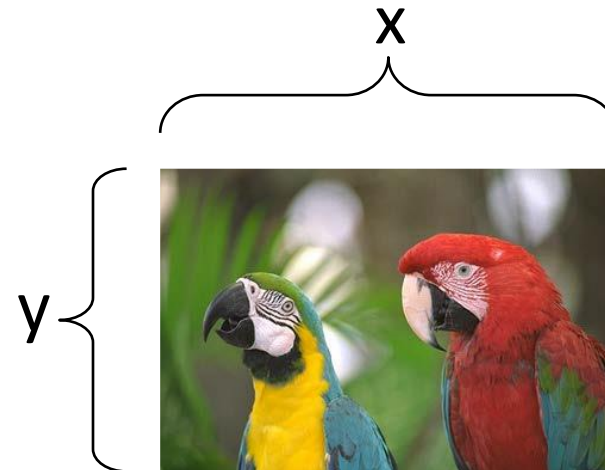
Z-buffer representation

# Grafikpipeline



## Darstellung:

- Rasterbild (Bildspeicher)

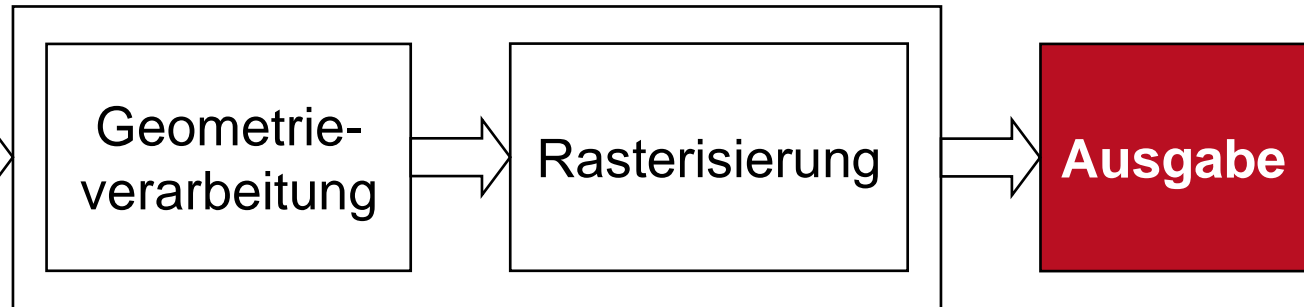


# Grafikpipeline: Ausgabe

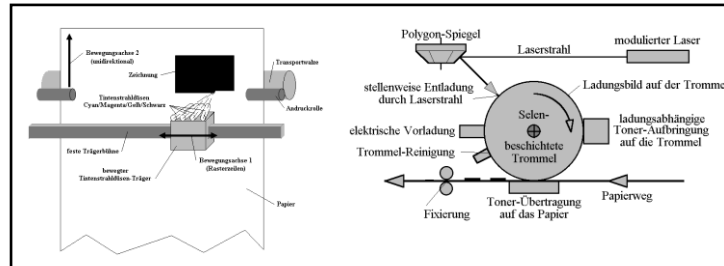
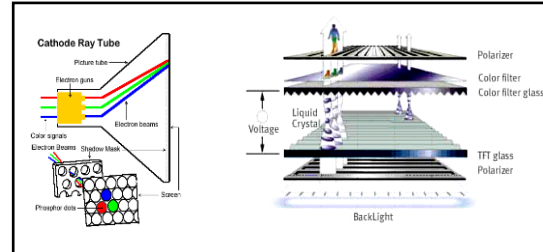


CPU

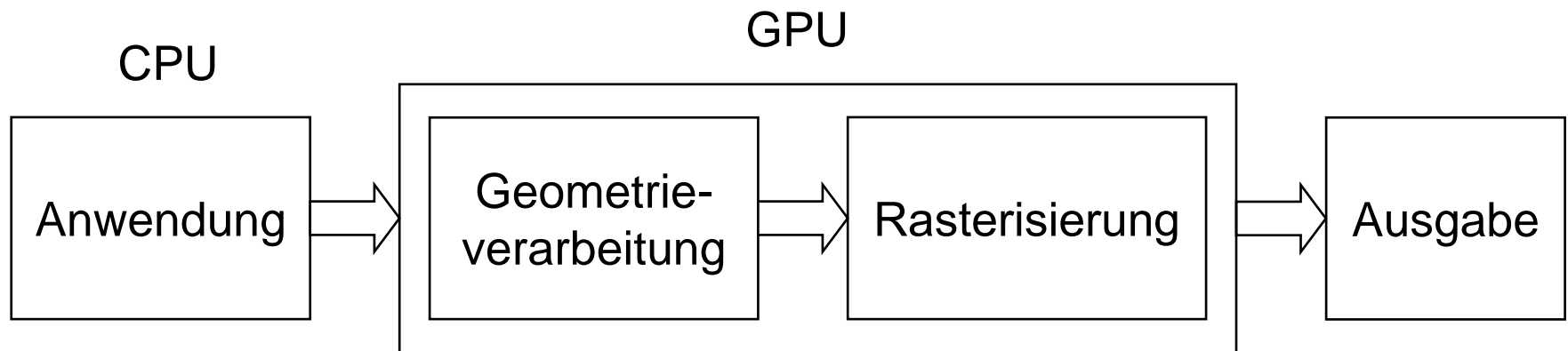
GPU



- Speichern des Bildes
- Display
- Hardcopy



# 3D-Grafikpipeline



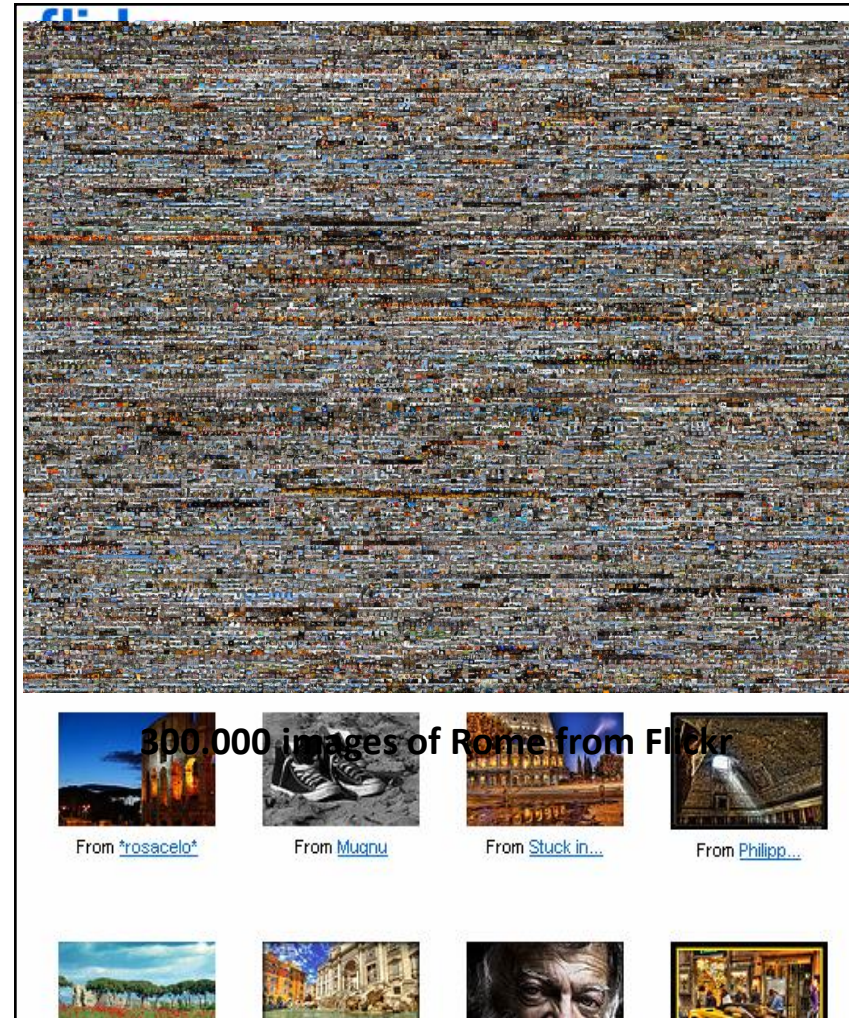
- Eingabe Grafischer Daten
- Repräsentation von 3D Daten (Primitive, Transformationen, räumliche Datenstrukturen)
- Modell- Transformation
- Simulation der Beleuchtung
- Perspektivische Transformation
- Clipping
- Culling
- Projektion
- Rasterisierung der Primitive nacheinander:
  - Scan-Konvertierung
  - Verdeckungsrechnung
  - Farbwertinterpolation
- Speichern des Bildes
- Display
- Hardcopy

# Beispiel:

## Community-basierter Ansatz: Bilddaten und das soziale Web



- Bildportal Flickr ([www.flickr.com](http://www.flickr.com))
  - Mehr als 6 Milliarden Bilder bis zum August 2011 hochgeladen
  - 3.457.833 Suchergebnisse für „Rome“ (05.06.2012)
  - „Community Fotosammlungen“
- Diese Bilddaten werden verwendet für Inpainting, Kamerakalibrierung, bildbasiertes Rendering, ...



# Fototourismus



TECHNISCHE  
UNIVERSITÄT  
DARMSTADT

The screenshot shows the Flickr search results for 'notre dame'. At the top, there are navigation links: Home, Learn More, Sign Up!, and Explore. Below that is a search bar with 'notre dame' typed in, and a dropdown menu showing 'Full text' and 'Tags only'. A green checkmark indicates 'We found 61,428 photos about notre and dame.' Below the search bar, there are two rows of thumbnail images from various users, each with a 'From' link and a small photo preview. A large green arrow points from the search results towards a 3D reconstruction of the Notre Dame facade.



The screenshot shows a user interface for navigating through a collection of Notre Dame photos. On the left, there's a sidebar with a thumbnail of the main image, a title 'Name: 74399486@N00', and details 'Added by: 74399486@N00' and 'Date: May 30, 2003, 0...'. Below this are several small thumbnail images and icons. The main area shows a large image of the Notre Dame facade and a grid of smaller thumbnail images at the bottom. A large green arrow points from the 3D reconstruction towards this interface.

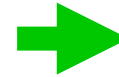
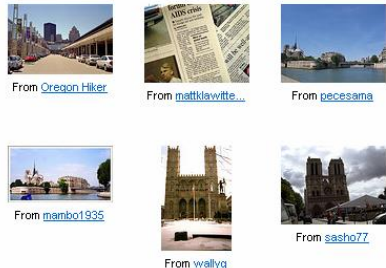
- Wiederherstellung von Kameraposition und Szenenpunkten aus Flickr-Bildsammlungen durch Benutzung von Structure-From-Motion
- User Interface um durch Fotosammlungen zu navigieren
- Kerntechnologie von Microsoft Live Labs Photosynth (seit August 2008)
- Google StreetView!

# Multi-View Stereo for Community Photo Collections



TECHNISCHE  
UNIVERSITÄT  
DARMSTADT

The screenshot shows the Flickr search interface with the query 'notre dame'. It displays a search bar with the query, a search button, and navigation links for Home, Learn More, Sign Up!, and Explore. Below the search bar, there are tabs for Photos, Groups, and People. A search result summary states 'We found 61,428 photos about notre and dame.' with options to view them by Most relevant, Most recent, or Most interesting.



- Rekonstruktion von geometrischen Modellen mithilfe von Multi-View-Stereo-Techniken
- Beispiel: Front der Notre-Dame wurde aus 653 Bildern rekonstruiert, die von 313 Fotografen auf Flickr hochgeladen wurden: <http://grail.cs.washington.edu/projects/mvscpc/>
- Multi-View Environment: <https://www.gcc.tu-darmstadt.de/home/proj/mve/>

# Weiterführende Vorlesung @ YouTube



## **Computer Graphics 2011, Lect. 8 – Perspective projection, clipping, culling, and Z-buffer (32:40)**

Recordings from an introductory lecture about computer graphics given by Wolfgang Hürst, Utrecht University, The Netherlands, from April 2011 till June 2011.

<https://www.youtube.com/watch?v=stCELsaDJRw>

Part 2 (39:17):

<https://www.youtube.com/watch?v=3lcBpKqgFBQ>



# Vielen Dank für die Aufmerksamkeit

(und gleich zu den Übungen!)